



# Evaluación de las malformaciones Müllerianas por RM: Exhibición académica de la interpretación sistemática según la clasificación ESHRE-ESGE a partir de casos.

Labra I<sup>1</sup>, Ulloa P<sup>1</sup>, Schiappacasse G<sup>2</sup>, Molina N<sup>3</sup>.

(1) Residente de Imagenología. Universidad San Sebastián. Hospital Victor Ríos Ruiz, Los Ángeles.

(2) Médico Radiólogo Staff. Departamento de Imágenes, Facultad de Medicina Clínica Alemana de Santiago – Universidad del Desarrollo.

(3) Médico Radiólogo Staff. Fellowship de imágenes abdominales. Hospital Víctor Ríos Ruiz, Los Ángeles.

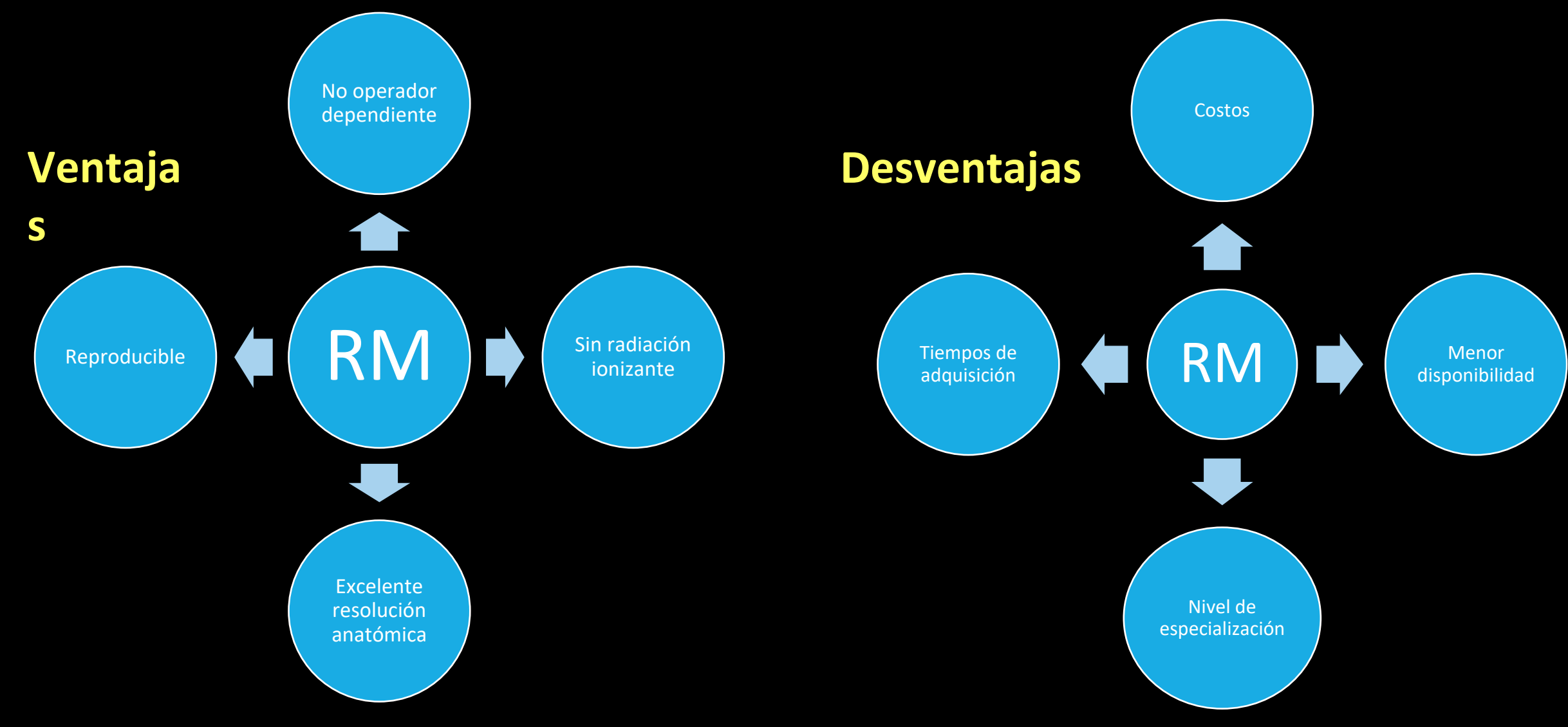
Servicio de Imagenología - Hospital Víctor Ríos Ruiz, Los Ángeles Universidad San Sebastián

## Introducción

- Las malformaciones congénitas del tracto mülleriano comprenden un espectro de alteraciones en el desarrollo del útero, cérvix y vagina, con repercusiones en fertilidad, dolor pélvico y morbilidad obstétrica.
- Su caracterización requiere integración clínica, imagenológica y, en casos seleccionados, quirúrgica.
- La resonancia magnética constituye el método de elección para su valoración no invasiva, por su capacidad multiplanar y alta resolución tisular.
- Presentamos una serie de casos ilustrativos de las principales variantes anatómicas, analizadas según la clasificación ESHRE-ESGE actualizada, junto con una revisión del enfoque diagnóstico.

- Allen JW et al: Incidence of ovarian maldescent in women with mullerian duct anomalies: evaluation by MRI. AJR Am J Roentgenol. 198(4):W381-5, 2012
- Chan YY et al: The prevalence of congenital uterine anomalies in unselected and high-risk populations: a systematic review. Hum Reprod Update. 17(6):761-71, 2011
- Marko J et al: Mucinous neoplasms of the ovary: radiologic-pathologic correlation. Radiographics. 39(4):982-97, 2019

# Introducción

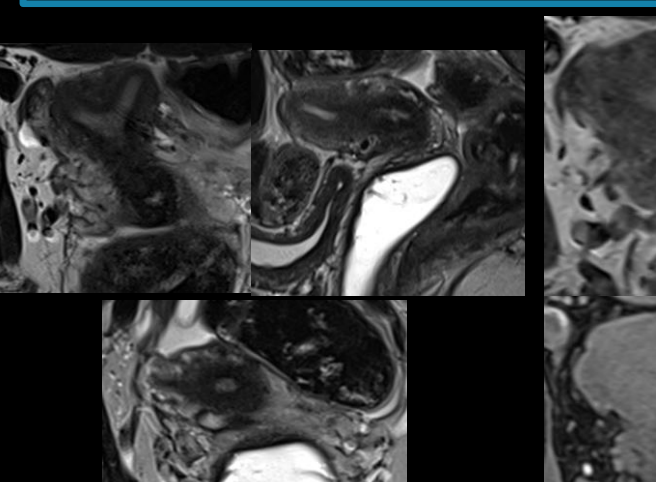


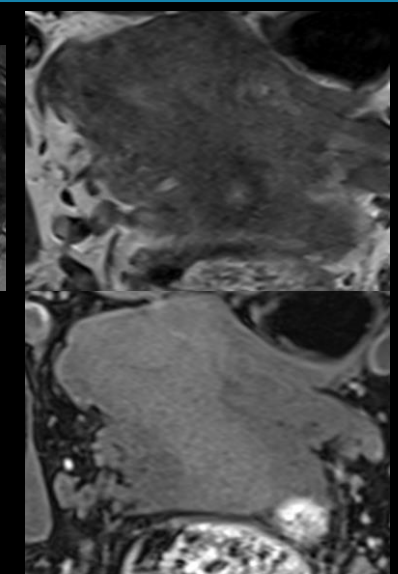
- Servaes S, Victoria T, Lovrenski J, Epelman M. Contemporary pediatric gynecologic imaging. Semin Ultrasound CT MR. 2010;31(2):116-140. doi:10.1053/j.sult.2010.01.001
- Iraha Y, Okada M, Iraha R, et al. CT and MR Imaging of Gynecologic Emergencies. *Radiographics*. 2017;37(5):1569-1586. doi:10.1148/rg.2017160170

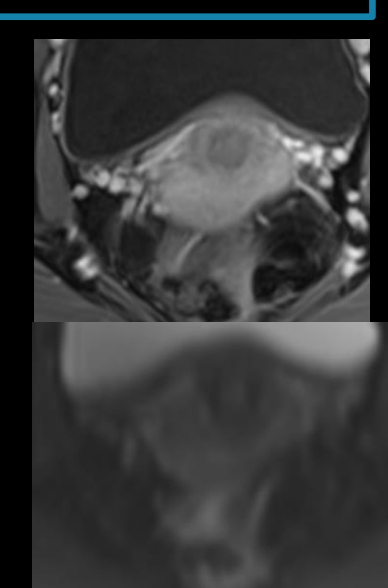
# Consideraciones técnicas

- Los protocolos de RM se ajustan según la sospecha diagnóstica, lo que condiciona el uso de CIV y gel intravaginal.
- Todos los estudios se realizan con administración de Buscapina. Idealmente 3T, aunque no existen limitaciones significativas con el uso de 1,5T.
- Ayuno de 4 Hrs.
- Instalación de vía venosa periférica.
- Respiración suave y mantenida en el tiempo.
- En decúbito supino, con pies o cabeza primero, según equipo.

- Los protocolos incluyen:
  - Secuencias T2WI en los 3 planos.
  - Secuencias T1WI en 1 o dos planos + FS.
  - Secuencias en y fuera de fase.
  - DWI y mapa ADC.
  - Secuencias contrastadas en T1WI FS.







## Cambios morfológicos del tracto mülleriano a lo largo del ciclo vital

	RN - 2 AÑOS	PREPUBERAL	PUBERAL
Útero longitudinal (cuerpo + cuello)	35 mm	< 40 mm	40 mm
Útero Anteroposterior	14 mm	< 10 mm	10 mm
Útero Transverso	-	< 15 mm	35 mm
Configuración	Piriforme invertida	Tubular	Periforme con predominio del cuerpo sobre el cuello
Relación cuerpo/cuello	-	1:1	> 1:2
Endometrio	Ecogénico o Hipoecogénico	Hipoecogénico	Visible con cambios cíclicos
Ovarios (Volumen *)	1 - 3.6 cc	< 2 cc	> 3 cc
Folículos ováricos (Diámetro)	-	< 9 mm	10 mm

#### Neonatal

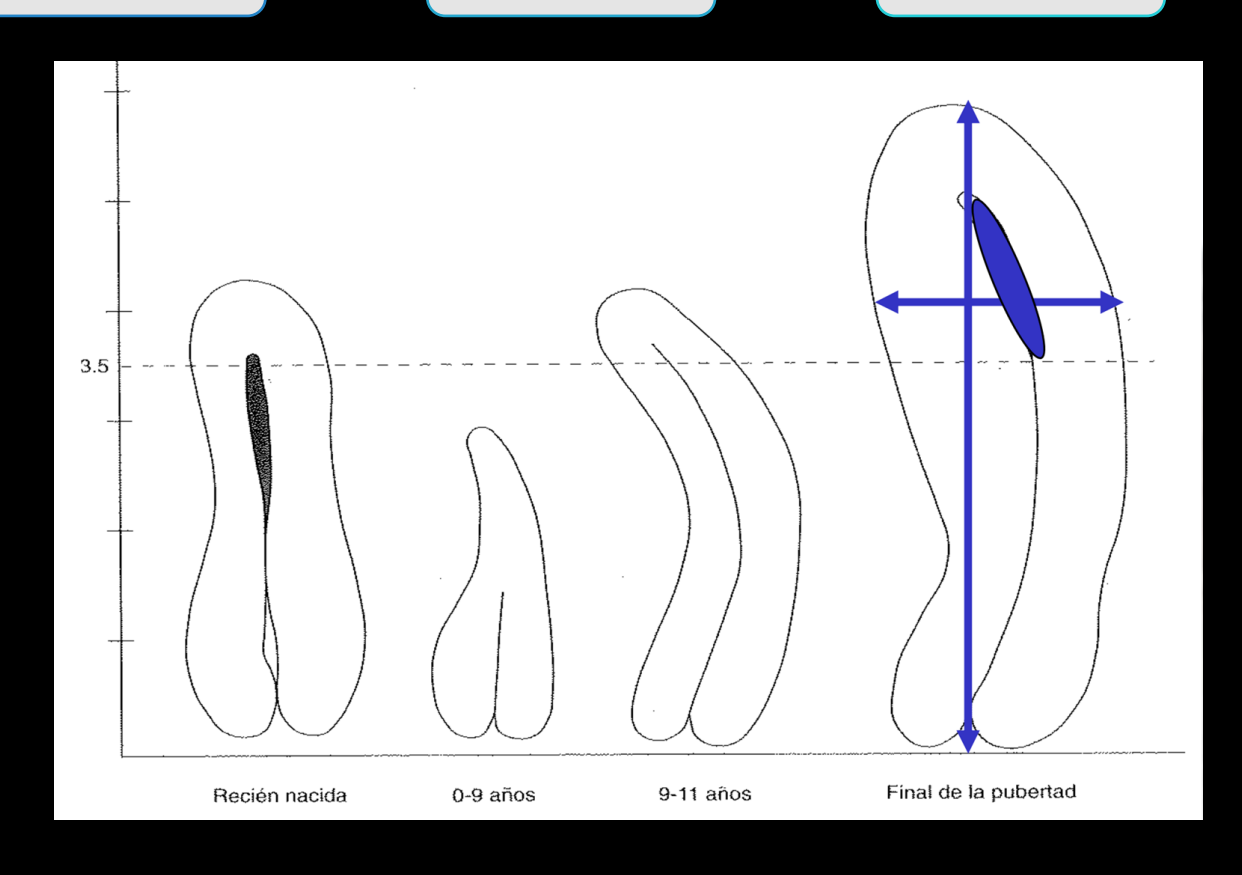
Cuello uterino es el doble de largo y ancho que el fondo.

#### **Pre puberal**

Cuello uterino con una relación 1:1 respecto del fondo

# Puberal / Post puberal

El fondo aumenta de tamaño respecto del cuello



## **Malformaciones Müllerianas**

- Consenso dictado por la European Society of Human Reproduction and Embryology (ESHRE)/European Society for Gynaecological Endoscopy (ESGE) (2013).
- Basada en evidencia científica y consenso de expertos.
- Se basa en anatomía. Variaciones anatómicas que tienen un origen embriológico común.

#### Indicación:

- Estudio de elección ante la sospecha de malformación Mülleriana .
- Ofrece una caracterización óptima en la morfología uterina, del cuello y vagina.
- Permite evaluar características asociadas, como malformaciones del tracto urinario.
- Limitación de la evaluación del plano vaginal, en función de la posibilidad de administrar gel intravaginal.

- Servaes S, Victoria T, Lovrenski J, Epelman M. Contemporary pediatric gynecologic imaging. Semin Ultrasound CT MR. 2010;31(2):116-140. doi:10.1053/j.sult.2010.01.001
- Iraha Y, Okada M, Iraha R, et al. CT and MR Imaging of Gynecologic Emergencies. Radiographics. 2017;37(5):1569-1586. doi:10.1148/rg.2017160170
- Allen JW et al: Incidence of ovarian maldescent in women with mullerian duct anomalies: evaluation by MRI. AJR Am J Roentgenol. 198(4):W381-5, 2012
- Grimbizis GF, Gordts S, Di Spiezio Sardo A, et al. The ESHRE/ESGE consensus on the classification of female genital tract congenital anomalies. Hum Reprod. 2013;28(8):2032-2044 doi:10.1093/humrep/det098



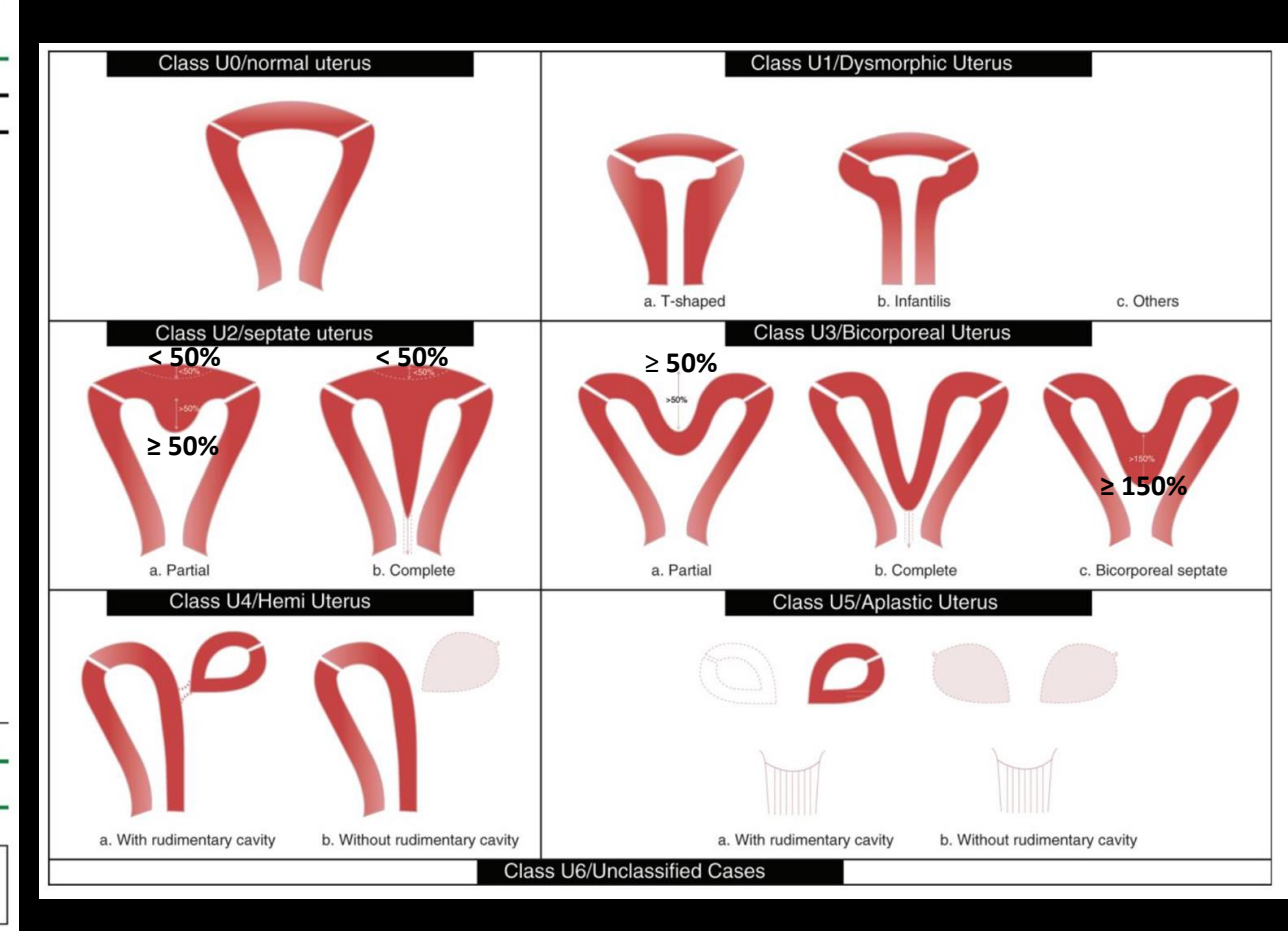


#### ESHRE/ESGE classification Female genital tract anomalies

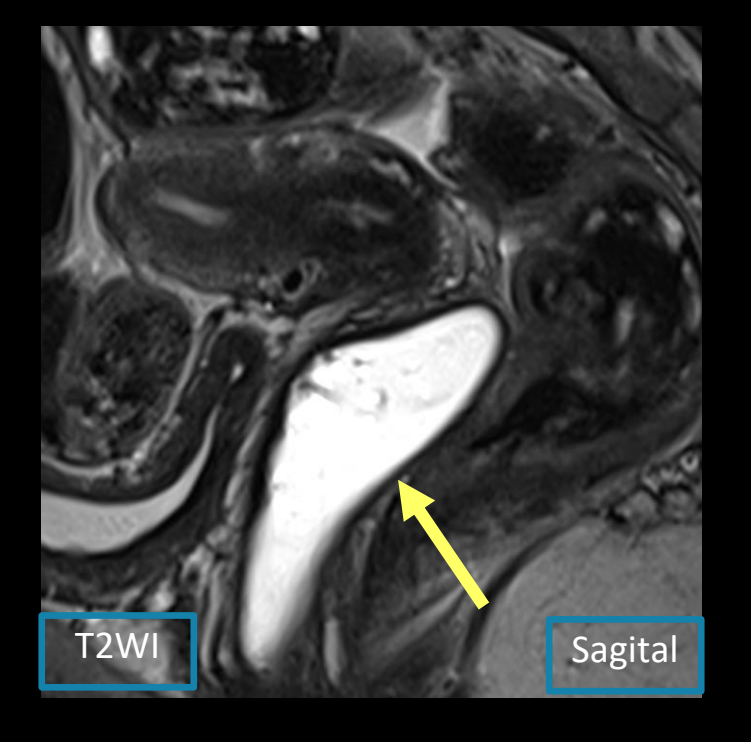
	Uterine anomaly		Cervical/vaginal anomaly		
	Main class	Sub-class	Co-exist	ent class	
U0	Normal uterus		со	Normal cervix	
U1	Dysmorphic uterus	<ul><li>a. T-shaped</li><li>b. Infantilis</li><li>c. Others</li></ul>	C1 C2	Septate cervix  Double 'normal' cervix	
U2	Septate uterus	a. Partial b. Complete	СЗ	Unilateral cervical aplasia	
U3	Bicorporeal uterus	a. Partial b. Complete	C4	Cervical aplasia	
		c. Bicorporeal septate	Ŭ VO	Normal vagina	
U4	Hemi-uterus	<ul><li>a. With rudimentary cavity (communicating or not horn)</li></ul>	V1	Longitudinal non-obstructing vaginal septum	
		<ul><li>b. Without rudimentary cavity (horn without cavity/no horn)</li></ul>	V2	Longitudinal obstructing vaginal septum	
U5	Aplastic	<ul> <li>a. With rudimentary cavity (bi- or unilateral horn)</li> </ul>	V3	Transverse vaginal septum and/or imperforate hymen	
		<ul> <li>b. Without rudimentary cavity (bi- or unilateral uterine remnants/aplasia)</li> </ul>	V4	Vaginal aplasia	
U6	Unclassified malforn	nations			
U			С	V	

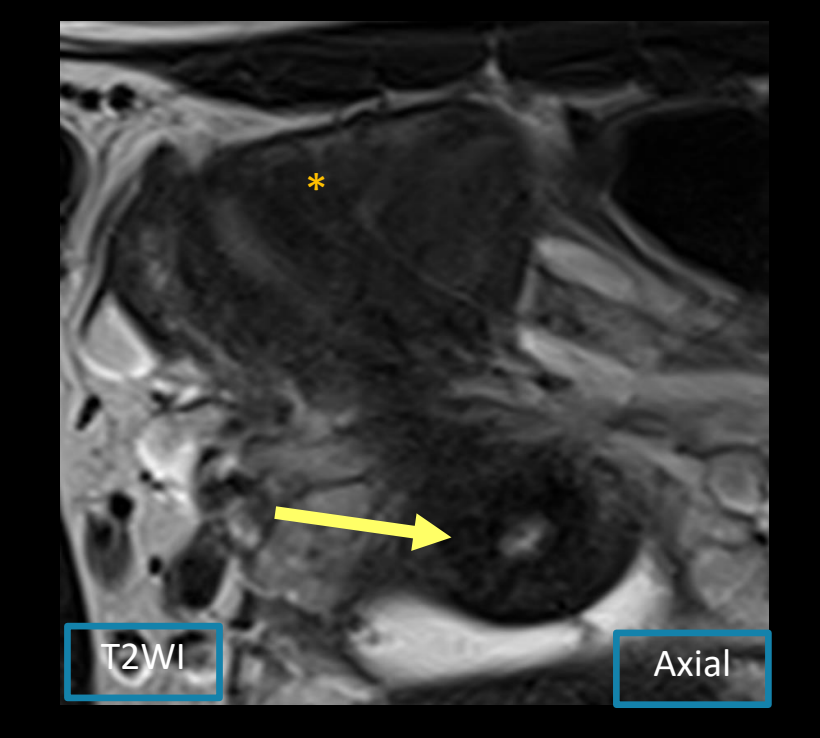
Associated anomalies of non-Müllerian origin:

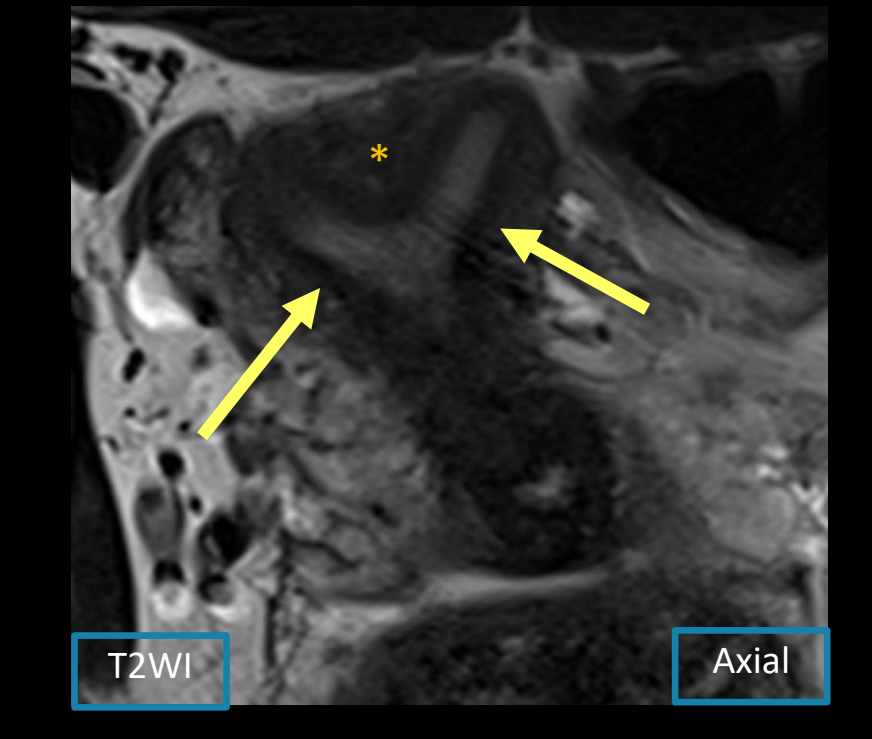
Drawing of the anomaly

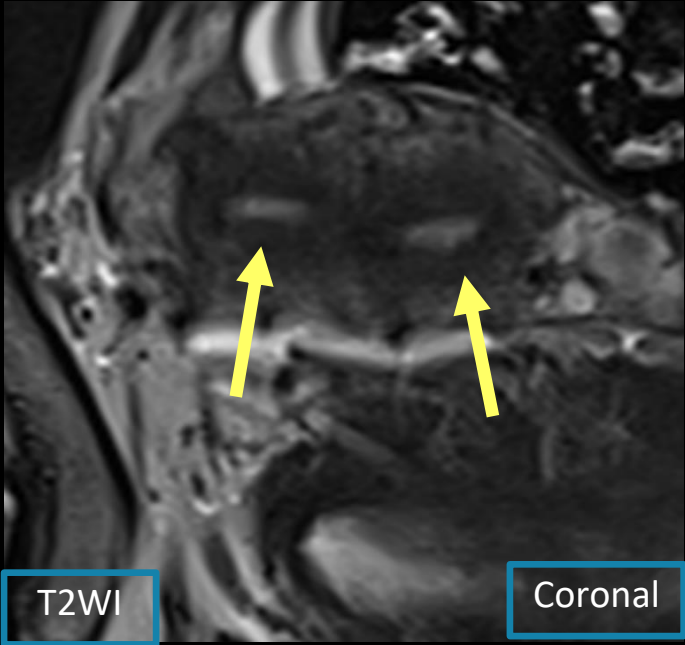


<sup>•</sup> Grimbizis GF, Gordts S, Di Spiezio Sardo A, et al. The ESHRE/ESGE consensus on the classification of female genital tract congenital anomalies. *Hum Reprod*. 2013;28(8):2032-2044. doi:10.1093/humrep/det098

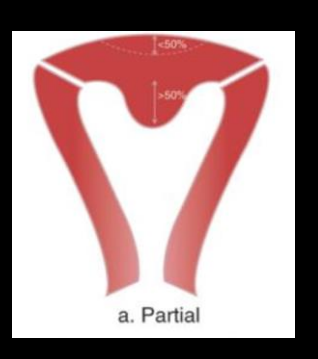


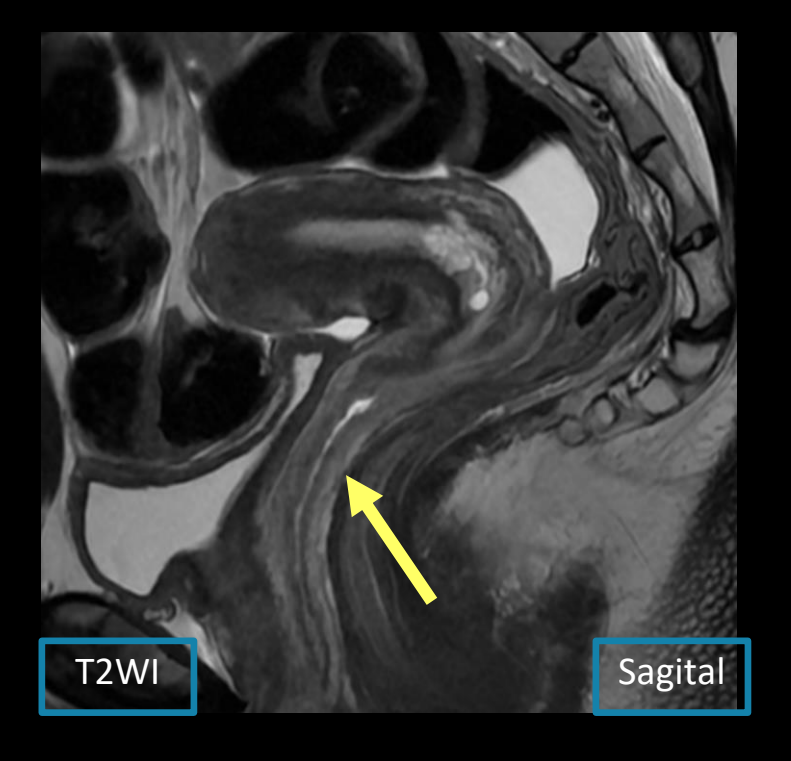


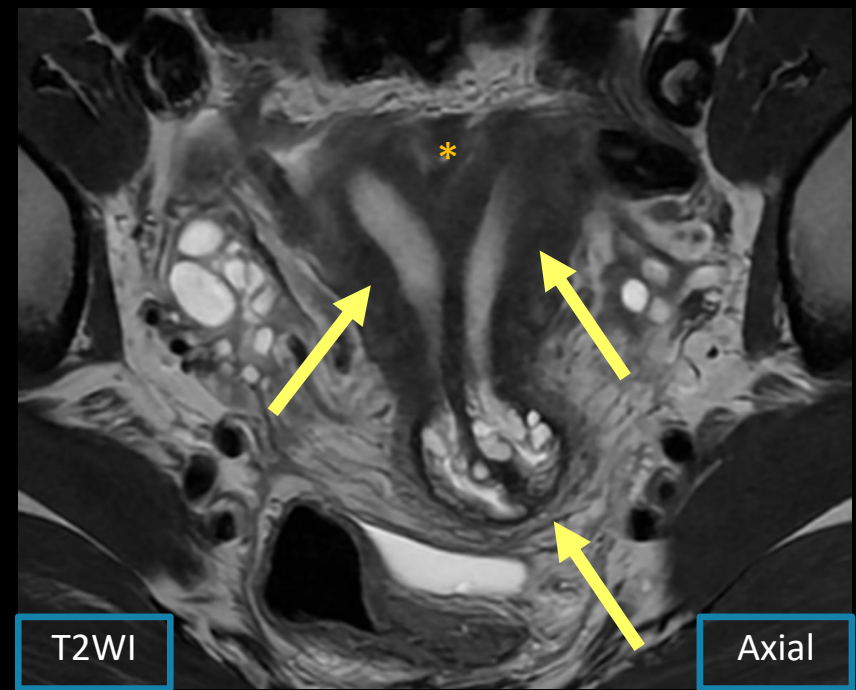


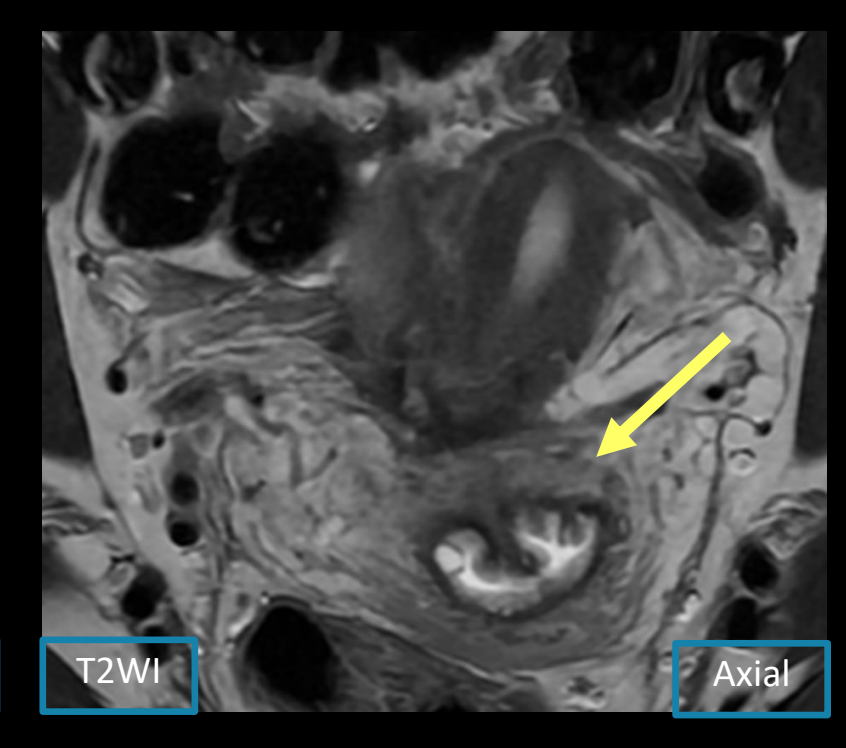


- Paciente de 17 años. Sospecha de malformación Mülleriana.
- Se evidencia una cavidad vaginal única (V0).
- Cuello uterino único (CO).
- Útero septado parcial (U2a).





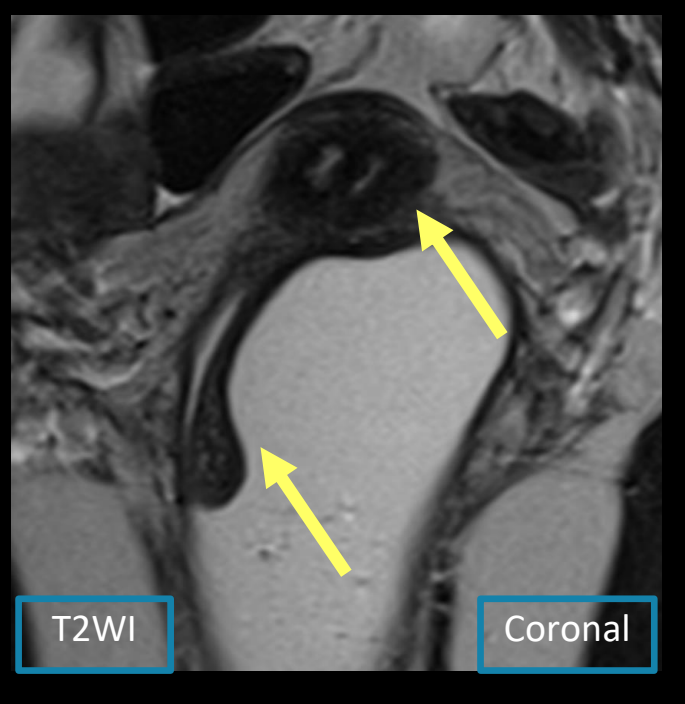


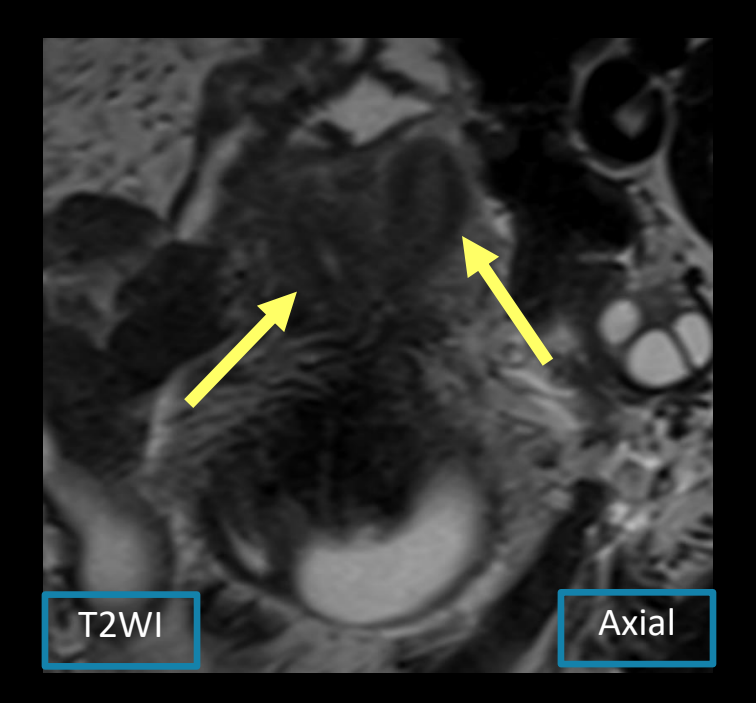


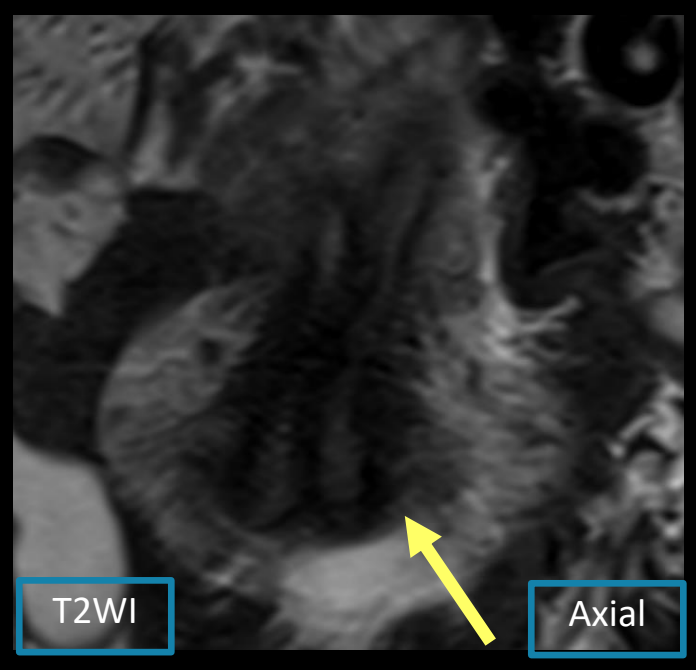


- Paciente de 14 años. Sospecha de malformación Mülleriana.
- Cavidad vaginal no evaluable (Sin gel endovaginal) (V?).
- Cuello uterino de aspecto septado (C1).
- Útero septado completo (U2b).

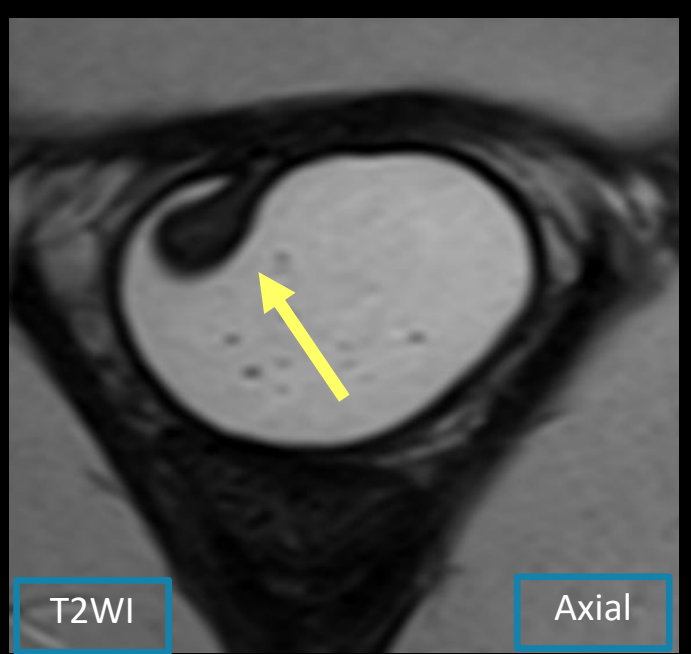


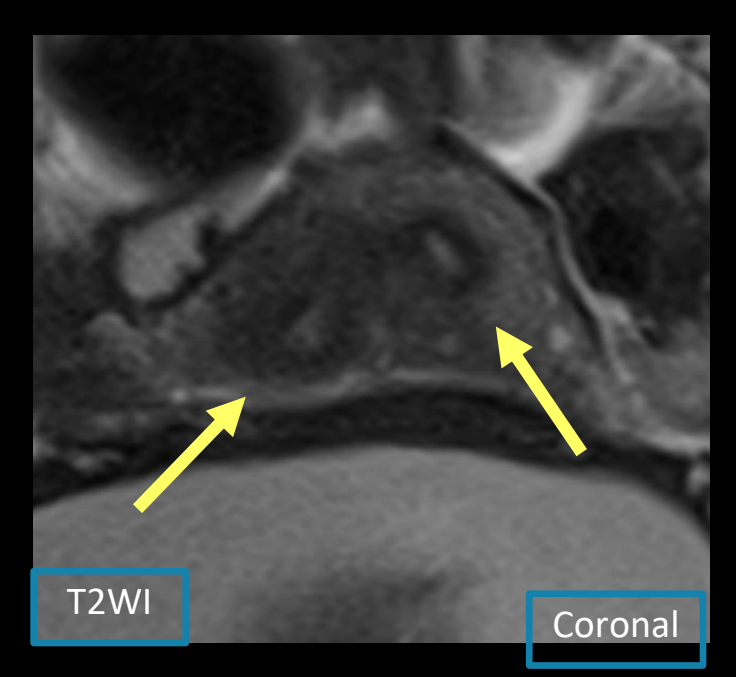




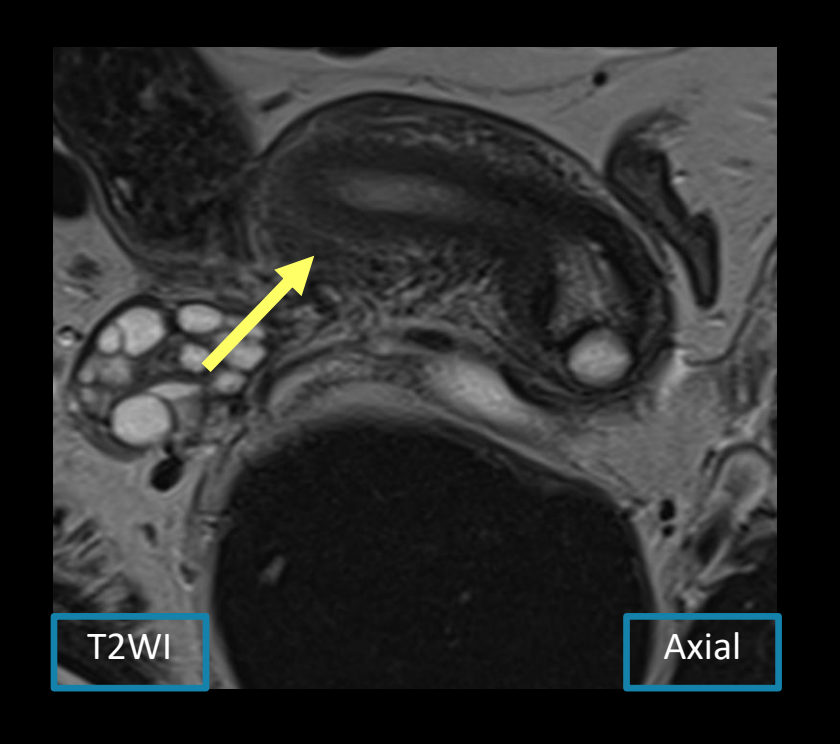


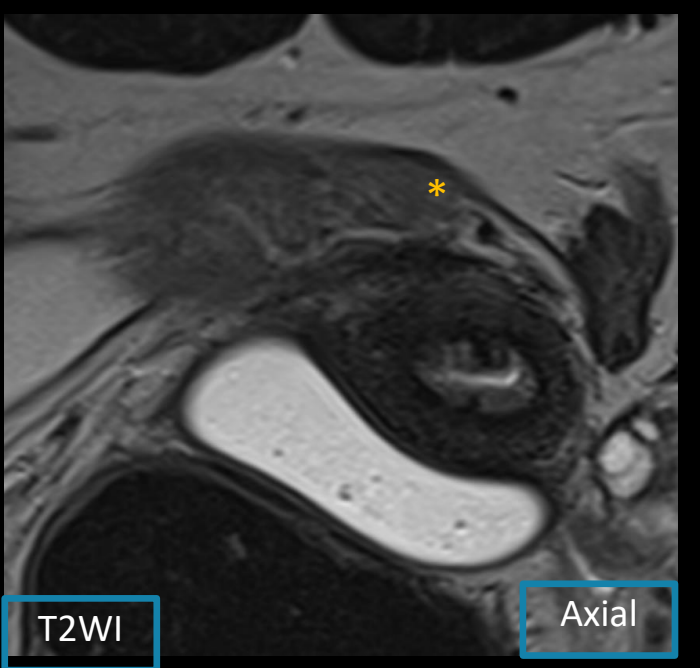


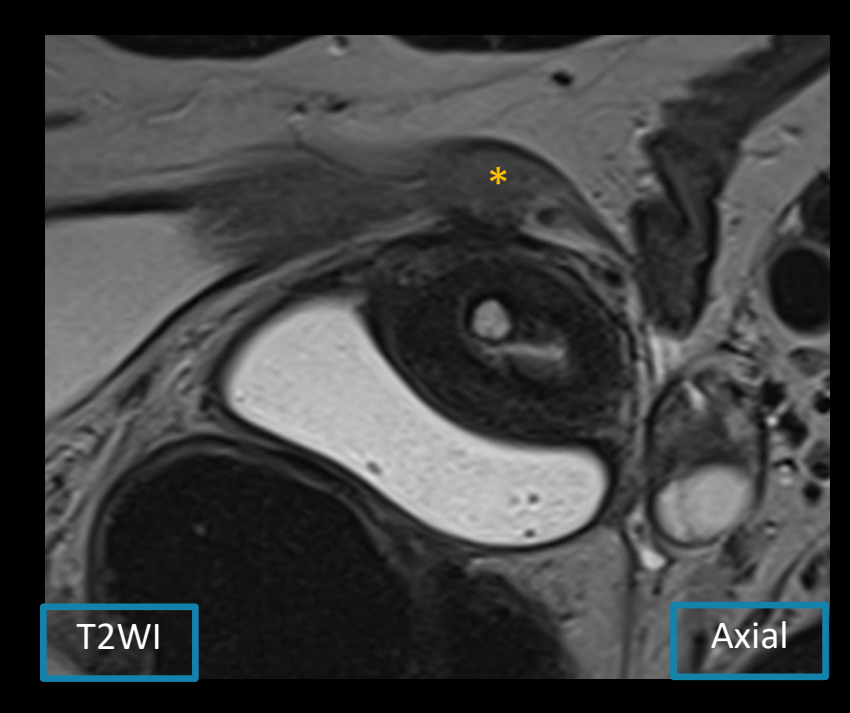




- Paciente de 15 años. Sospecha de malformación Mülleriana.
- Tabique vaginal longitudinal parcial (V1).
- Cuello uterino de aspecto septado (C1).
- Útero bicorpóreo septado (U3c).

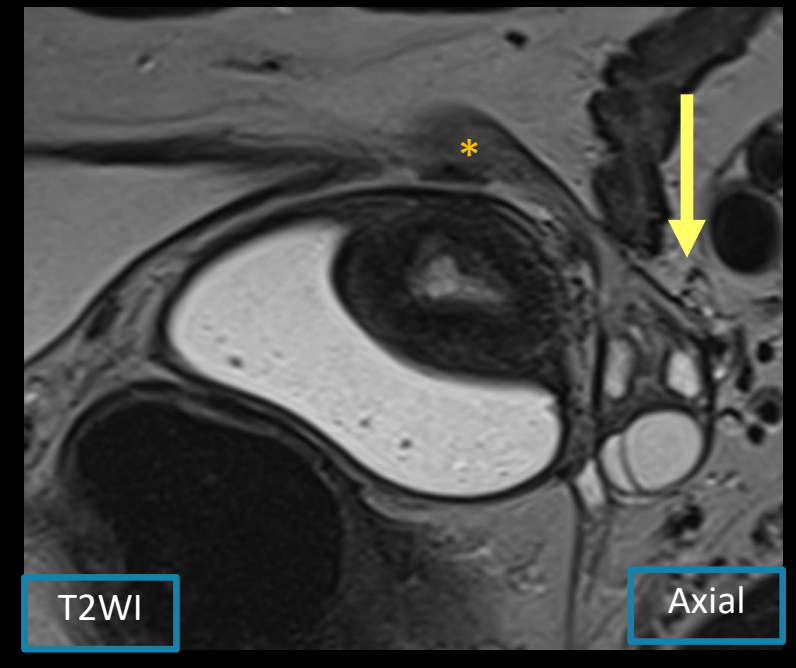






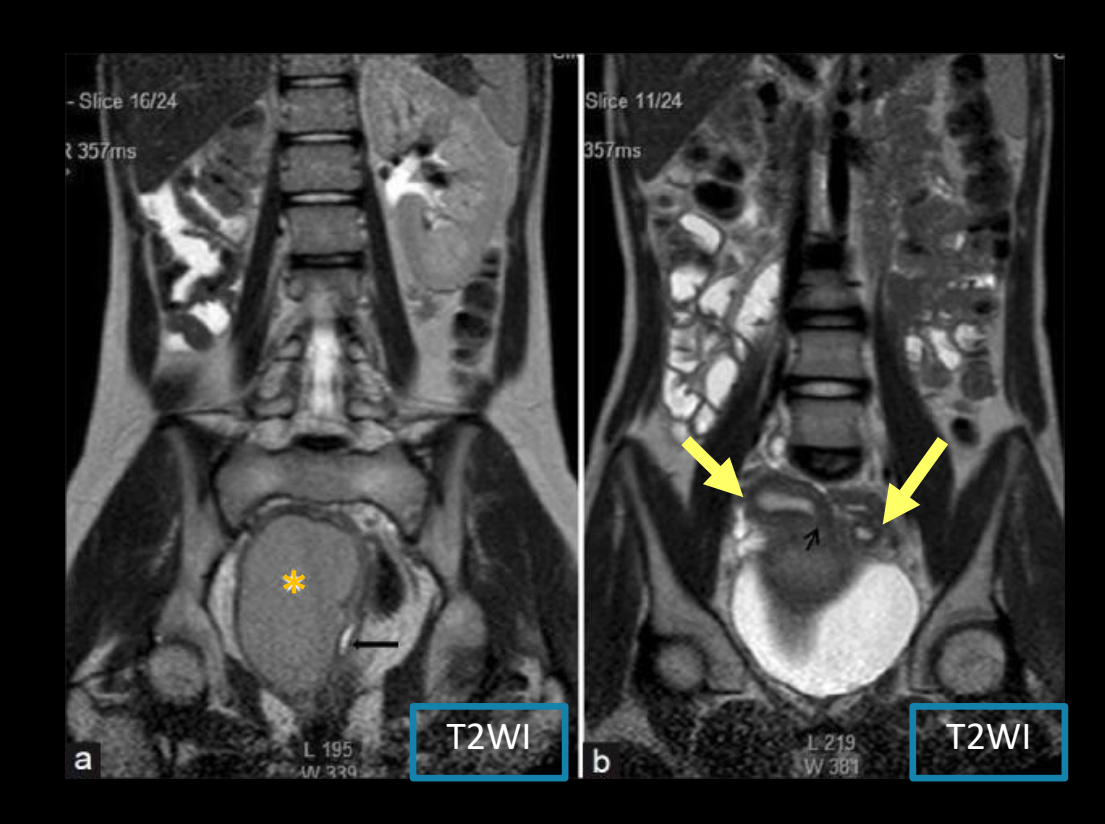
- Paciente de 16 años. Sospecha de malformación Mülleriana.
- Cavidad vaginal única (V0).
- Cuello uterino normal (C0).
- Hemiútero con cavidad rudimentaria derecha (U4a).





#### Síndrome de Obstrucción Hemivaginal y Anomalía Renal Ipsilateral (OHVIRA)

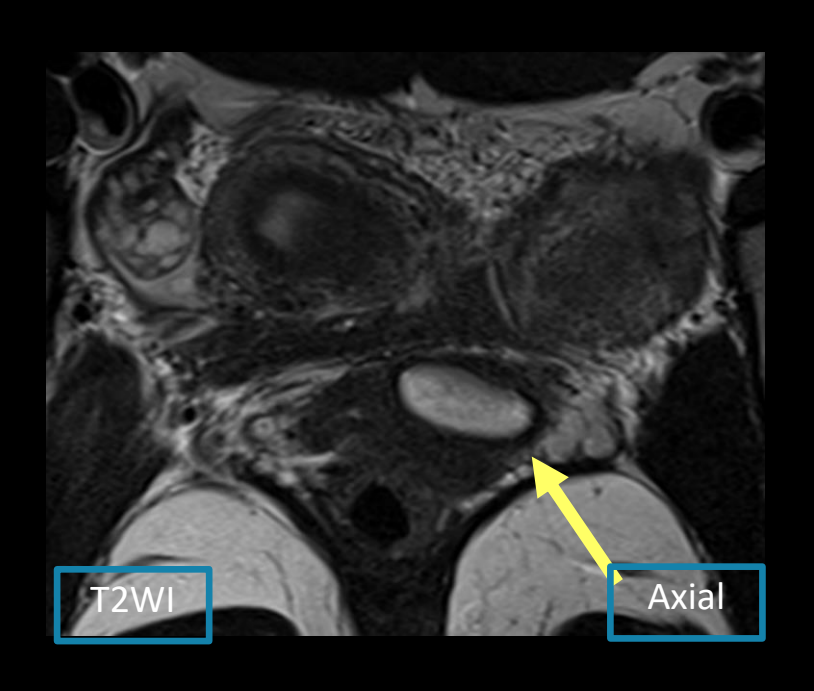
- O síndrome de Herlyn-Werner-Wunderlich .
- Anomalías del conducto de Müller asociado a anomalías del tracto urinario.
- Debutan con dolor pélvico en la menarquia.
- Triada: Útero bicorpóreo (U3), hemivagina obstruida y anomalías del conducto mesonéfrico (la mayoría de las veces agenesia renal).
- Se puede asociar con: Quistes del conducto de Gartner y endometriosis pelviana profunda.

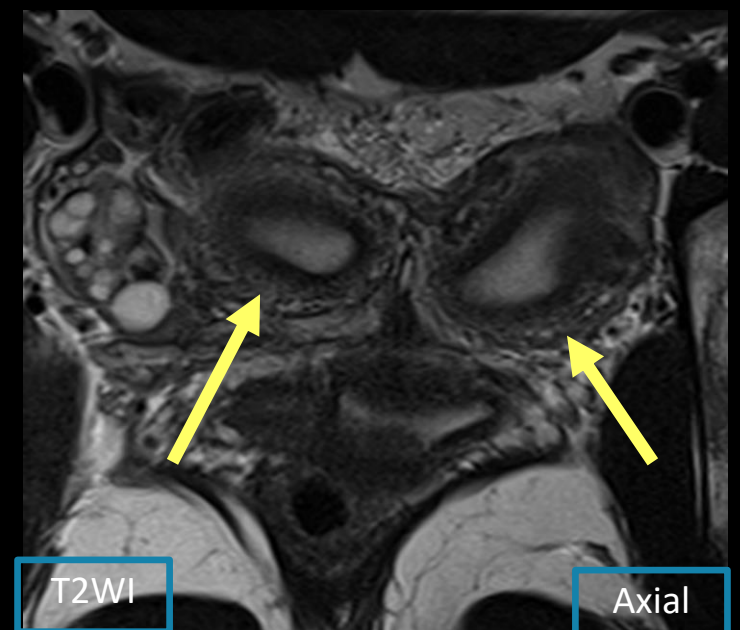


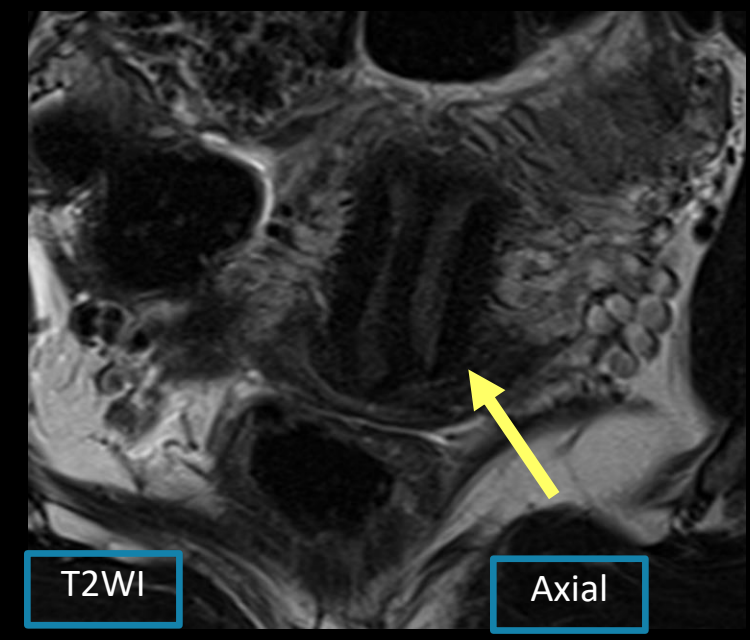
<sup>•</sup> Servaes S, Victoria T, Lovrenski J, Epelman M. Contemporary pediatric gynecologic imaging. Semin Ultrasound CT MR. 2010;31(2):116-140. doi:10.1053/j.sult.2010.01.001

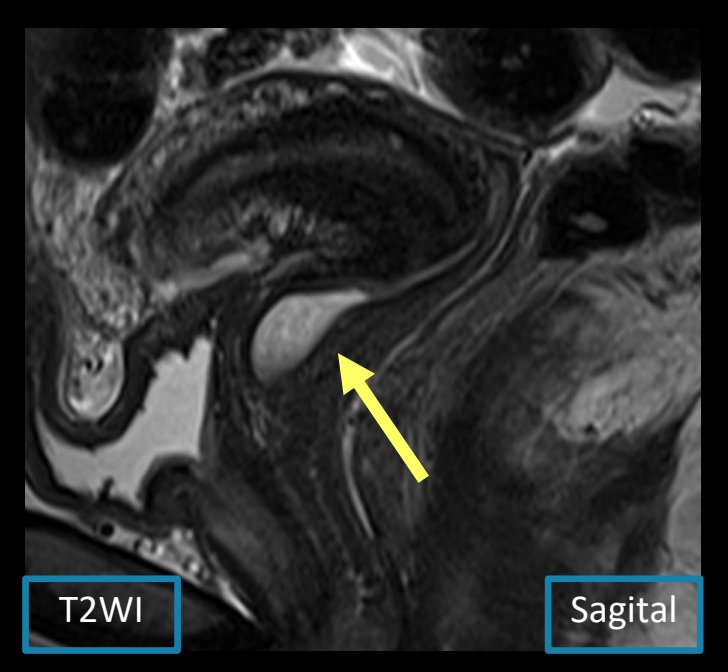
<sup>·</sup> Allen JW et al: Incidence of ovarian maldescent in women with mullerian duct anomalies: evaluation by MRI. AJR Am J Roentgenol. 198(4):W381-5, 2012

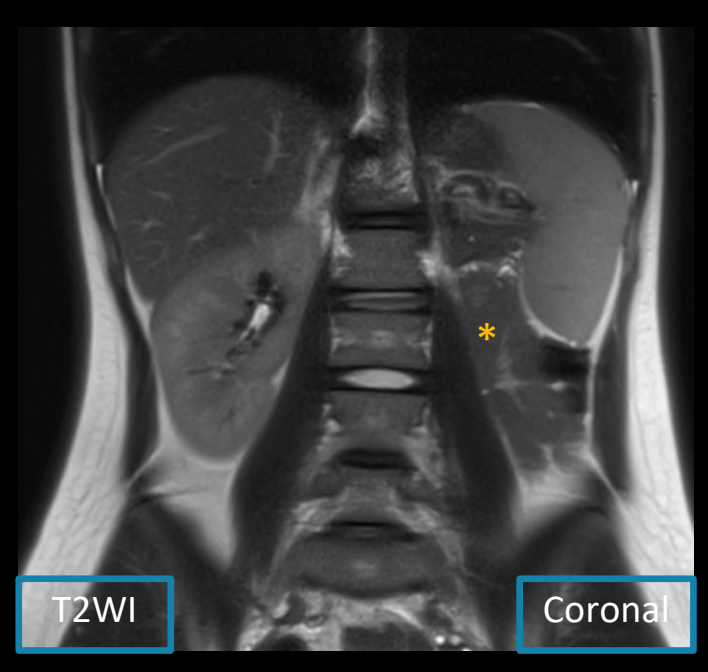
Grimbizis GF, Gordts S, Di Spiezio Sardo A, et al. The ESHRE/ESGE consensus on the classification of female genital tract congenital anomalies. *Hum Reprod*. 2013;28(8):2032-2044. doi:10.1093/humrep/det098



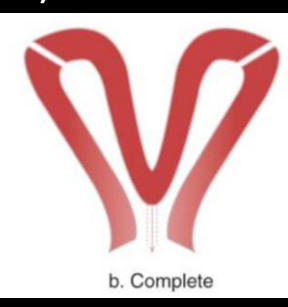






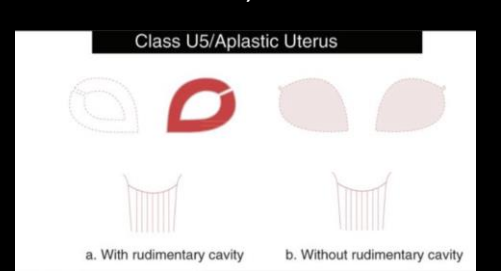


- Paciente de 14 años. Sospecha de malformación Mülleriana.
- Doble cavidad vaginal, a izquierda distendida con líquido (V2).
- Cuello uterino doble (C2).
- Útero bicorpóreo completo (U3b).
- Monorrena. OHVIRA.



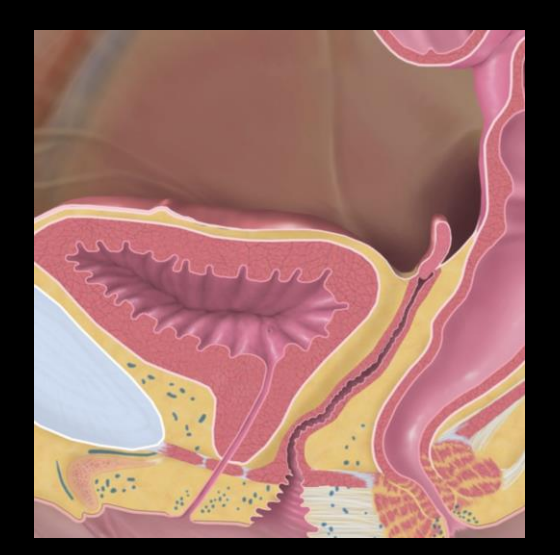
#### Síndrome de Mayer-Rokitansky-Küster-Hauser

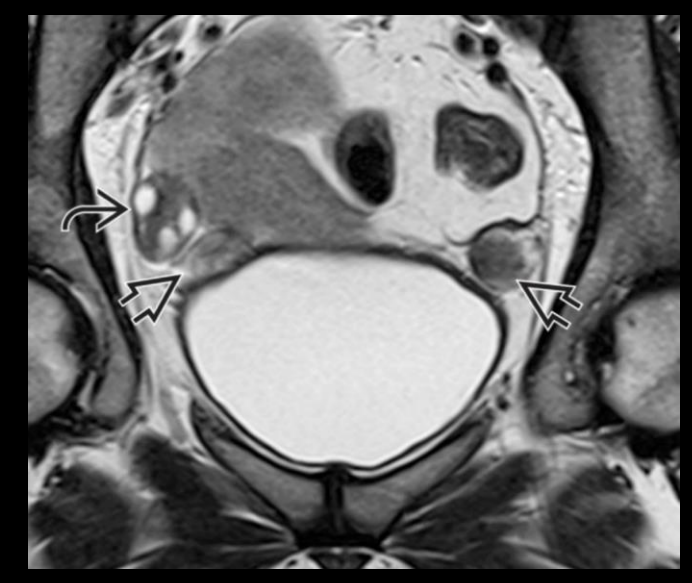
- O aplasia Mülleriana.
- Se caracteriza por presentar aplasia vaginal y uterina o agenesia. Amenorrea primaria que puede tener función hormonal conservada.
- Generalmente asociado a otras malformaciones del tracto genitourinario.
- Típico (tipo A): Agenesia uterina y de las 2/3 superiores de la vagina. Con ovarios y trompas.
- Atípica (tipo B): Se asocia con anomalías ováricas, de las trompas y renales.
- Luego de la caracterización por US, RM es el estudio de elección, logra determinar remanentes uterinos (brotes), presencia de endometrio, anomalías ováricas y renales.





Agenesia uterina (U5b)





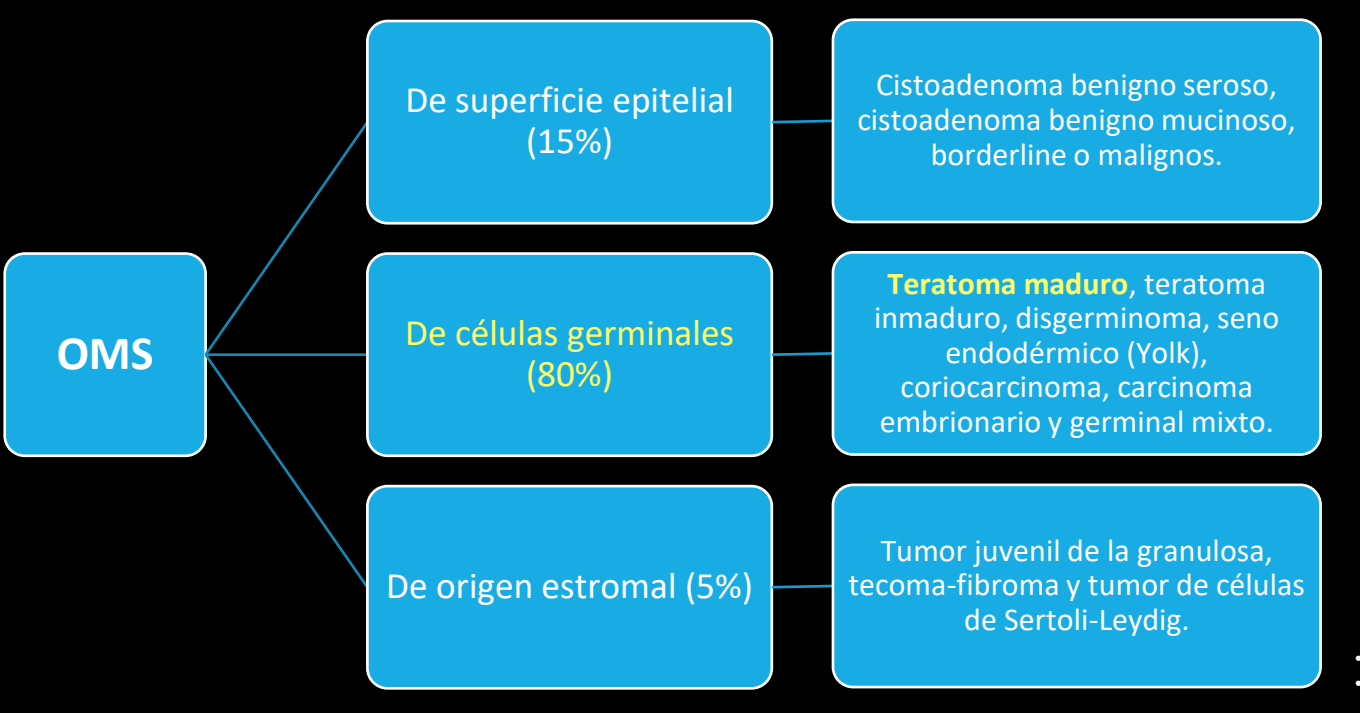
Cuernos rudimentarios bilaterales (U5a)



Agenesia vaginal (2/3

#### Lesiones Ováricas Infantojuveniles

- Las lesiones ováricas son infrecuentes en la edad pediátrica. Con una frecuencia de 2,6 cada 100.000 pacientes, con significativa mayor frecuencia entre 10-14 años.
- En pediatría el 90% son de células germinales, siendo muy frecuente el teratoma guístico maduro o tumor dermoide.



- Indicación de imágenes:
  - El US es el estudio inicial, confirma la presencia de una lesión y características sólidas o quísticas.
  - TC tiene su rol es la estadificación a distancia.
  - RM es el estudio de elección para describir detalles, origen lesional (lesiones grandes), características de agresividad (áreas nodulares, engrosamientos parietales, restricción en DWI y realce precoz con el CIV) y estadificación local.
- Marko J et al: Mucinous neoplasms of the ovary: radiologic-pathologic correlation. Radiographics. 39(4):982-97, 2019
- Zhao SH et al: MRI in differentiating ovarian borderline from benign mucinous cystadenoma: pathological correlation. J Ma
- Marko J et al: Mucinous neoplasms of the ovary: radiologic-pathologic correlation. Radiographics. 39(4):982-97, 2019

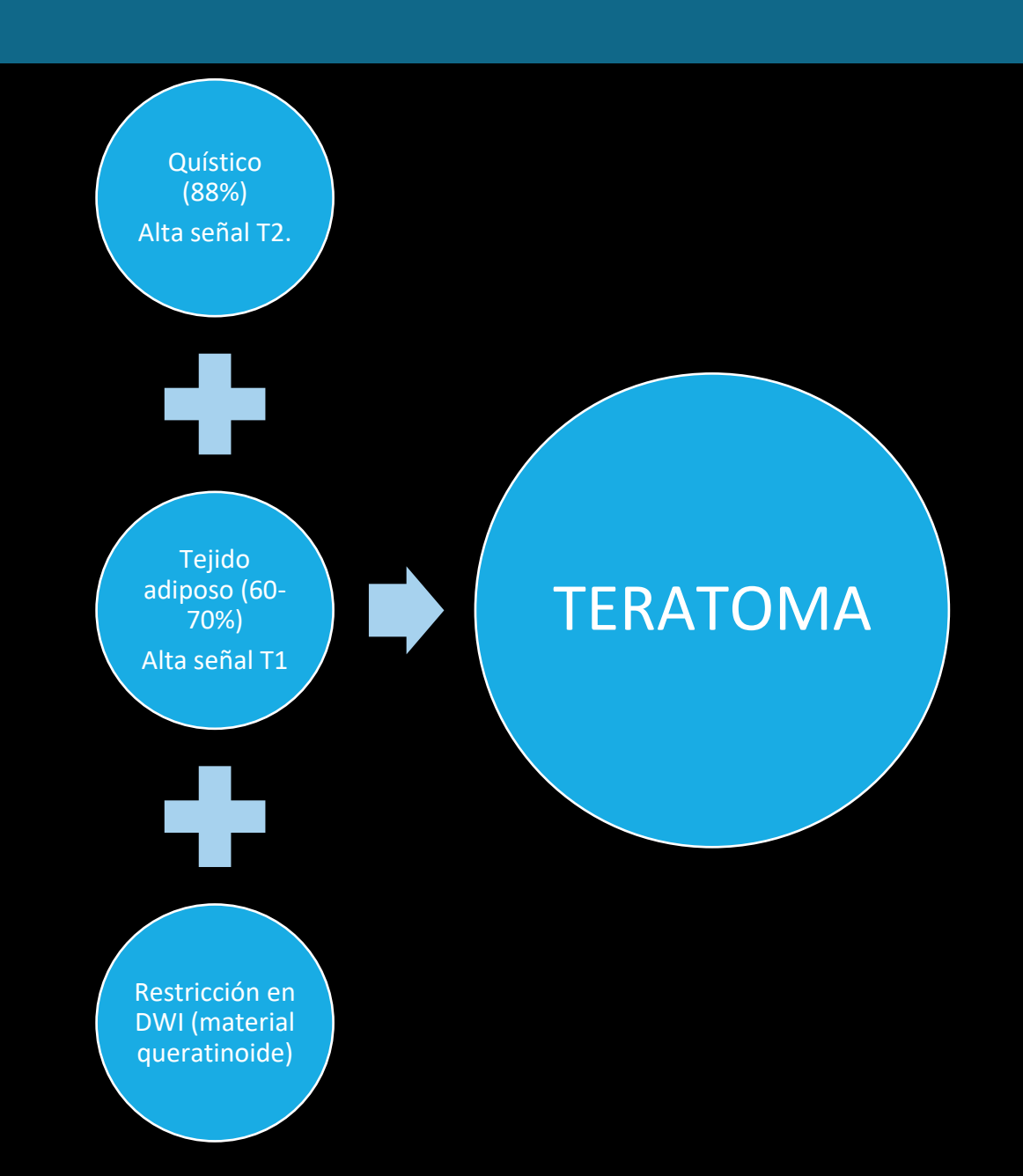
·	cining cystic ovarian mass foci of fat with microcystic areas of fluid signal intensity as with fibrovascular septa ed solid–cystic mass with large dilated intratumoral vessels the extensive hemorrhage and necrosis with combination of
·	oci of fat with microcystic areas of fluid signal intensity ss with fibrovascular septa ed solid–cystic mass with large dilated intratumoral vessels
Immature teratoma Scattered punctate for	ss with fibrovascular septa ed solid–cystic mass with large dilated intratumoral vessels
	ed solid-cystic mass with large dilated intratumoral vessels
Dysgerminoma Lobulated solid mas	-
Yolk sac tumor Heterogeneous mixed	ith extensive hemorrhage and necrosis with combination of
Mixed germ cell tumor  Large solid mass wi  other germ cell tu	
Ovarian surface epithelial-stromal tumors	
Benign serous cystadenoma Large unilocular sim	nple cyst, indistinguishable from follicular cyst when small
Benign mucinous cystadenoma Large multilocular c	cystic mass with variable signal intensity of cysts in stained-glass pattern
Borderline or malignant epithelial tumor Multilocular cystic r	mass with papillary projections or solid enhancing mural components
Ovarian sex cord-stromal tumors	
·	mass with sponge-like appearance on T2-weighted images e-signal solid tissue intermixed with hemorrhagic cysts
	ed dark on T2-weighted images with low signal on high b value and imaging and weak enhancement post-gadolinium
Sertoli-Leydig cell tumor Solid mass with per	ipheral cysts; can be predominantly hypointense on T2-weighted imaging
Ovarian non-neoplastic processes	
Hemorrhagic cyst Ovarian cyst with va can have heteroge	ariable signal intensity on T1- and T2-weighted images; eneous contents
Polycystic ovarian syndrome Bilateral moderately	enlarged ovaries with multiple small peripheral follicles
Massive ovarian edema Unilateral enlarged e	edematous ovary with peripheral follicles and preserved vascularity
Tubo-ovarian masses	
Paraovarian cyst Unilocular simple cy	yst separate from the ovary near the round ligament
Tubo-ovarian torsion Unilateral enlarged of	edematous ovary with peripheral follicles and diminished enhancement
Isolated tubal torsion Twisted fallopian tul	be with normal ipsilateral ovary
Tubo-ovarian abscess Complex cystic mass	ss with thick enhancing rim and surrounding adnexal inflammatory change

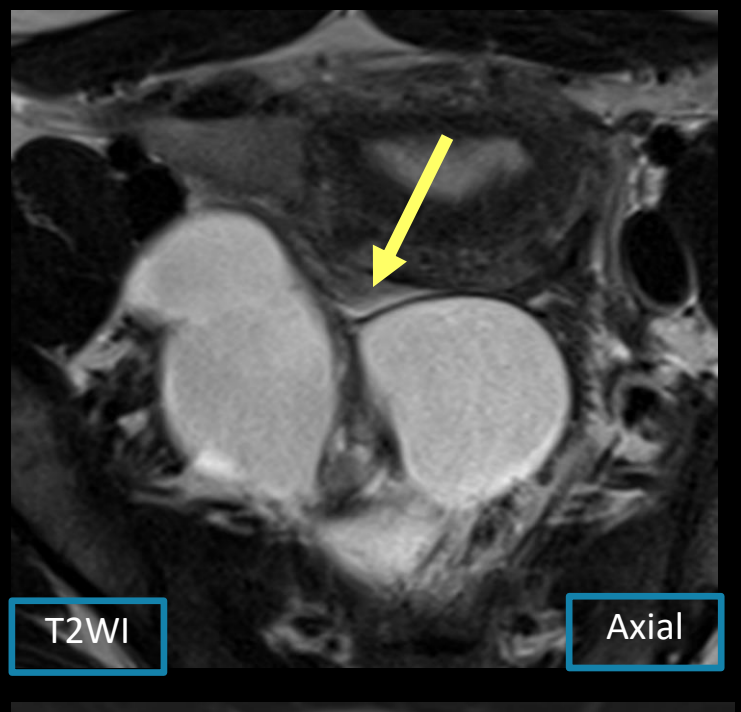
- Resumen de características por RM de lesiones anexiales en pediatría.
- Relación de marcadores serológicos y el tipo de neoplasia.

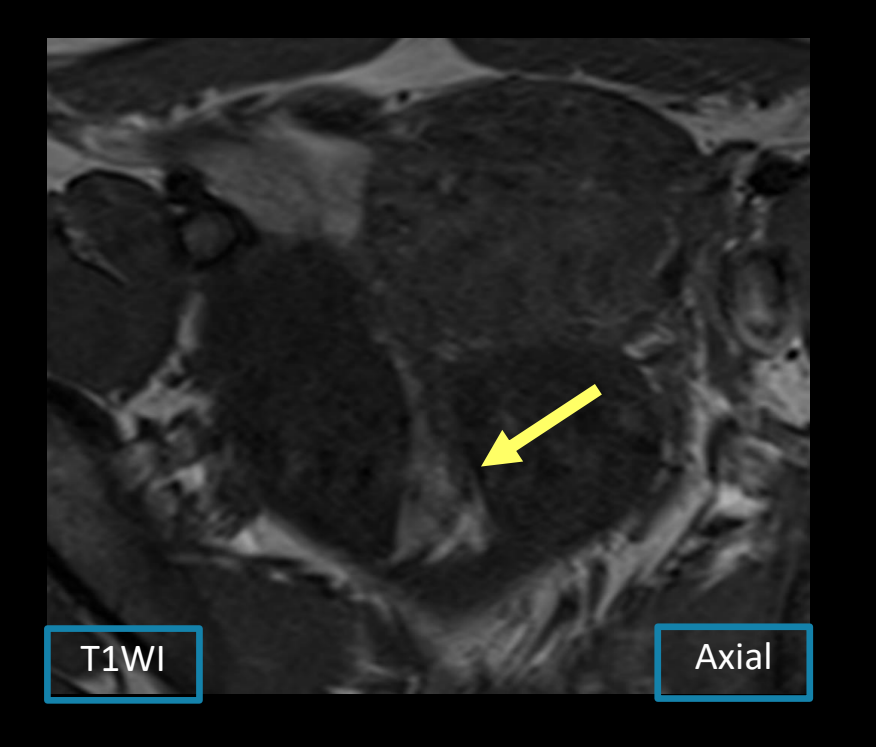
Biomarker	Associated tumors	
Beta-human chorionic gonadotropin (βhCG)	Choriocarcinoma	
	Embryonal carcinoma	
Alpha-fetoprotein (αFP)	Immature (malignant) teratoma	
	Yolk sac tumor	
	Embryonal carcinoma	
Cancer antigen 125 (CA125)	Borderline and malignant ovarian epithelial neoplasms	
Lactate dehydrogenase (LDH)	Dysgerminoma	
Inhibin	Juvenile granulosa cell tumor	

#### **Teratomas**

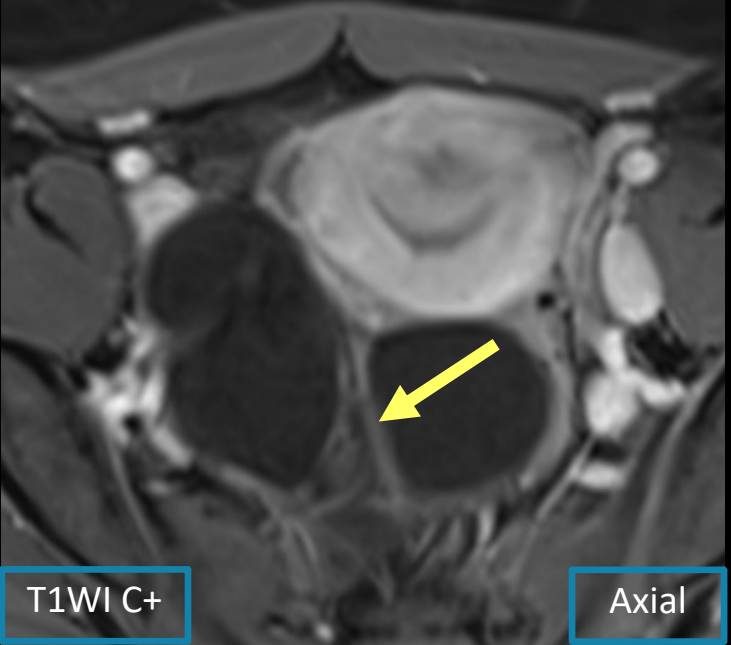
- Derivan de una o más capas embrionarias primitivas (endo, meso o ectodermo).
- Asociación con: torsión (16%), rotura (1-4%), transformación maligna (1-2%), infección (1%) y anemia hemolítica paraneoplásica (0,1-0,5%).
- <u>Teratoma maduro</u>: Benigno y el más frecuente (85% de los tumores germinales y 50% de todos los tumores ováricos).
- <u>Teratoma Inmaduro</u>: Maligno. Más frecuente a menor edad. Suelen ser más grandes y se rompen con mayor frecuencia. Predominio sólido. Diseminación linfática.



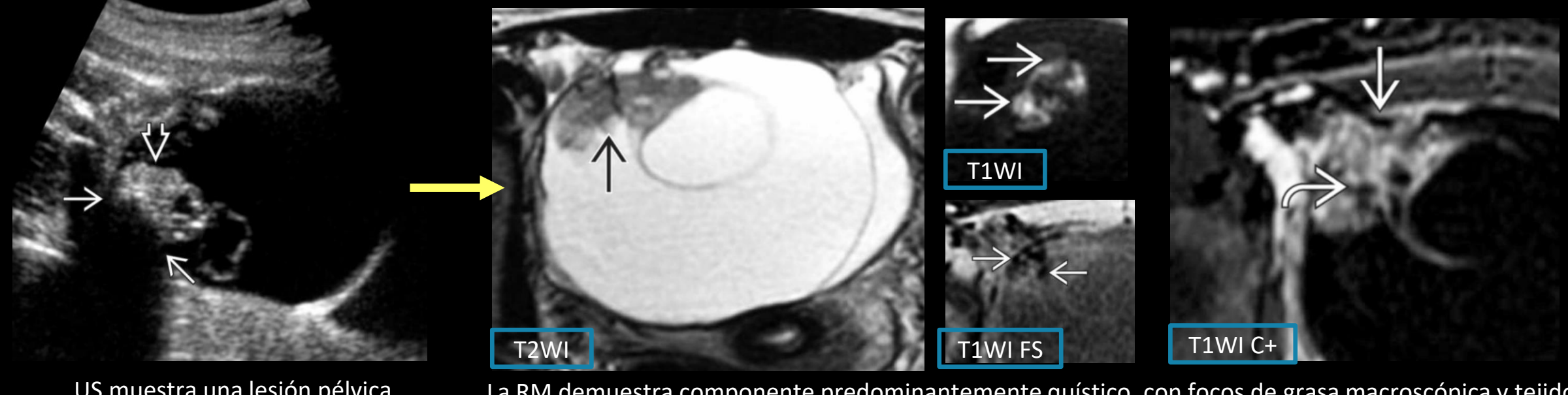








- Paciente de 15 años. Evaluación por lesión anexial derecha.
- Lesión quística de contornos lobulados de 80 mm, sin realce significativo con el CIV, con septos que presenta tejido adiposo macroscópico.
- Se confirma teratoma maduro (quístico).



US muestra una lesión pélvica sólido quística

La RM demuestra componente predominantemente quístico, con focos de grasa macroscópica y tejido de partes blandas que realza de manera heterogénea con el CIV. Se conforma teratoma inmaduro.



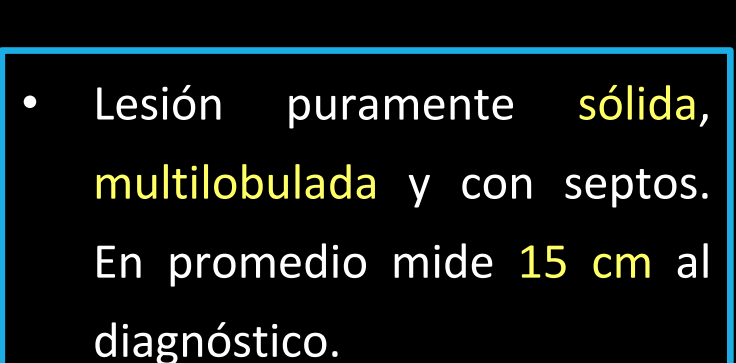
Ejemplos de teratoma inmaduro por TC. Masa con tejido de partes blandas que realza de manera heterogénea. Escaso contenido adiposo. Tamaño variable.

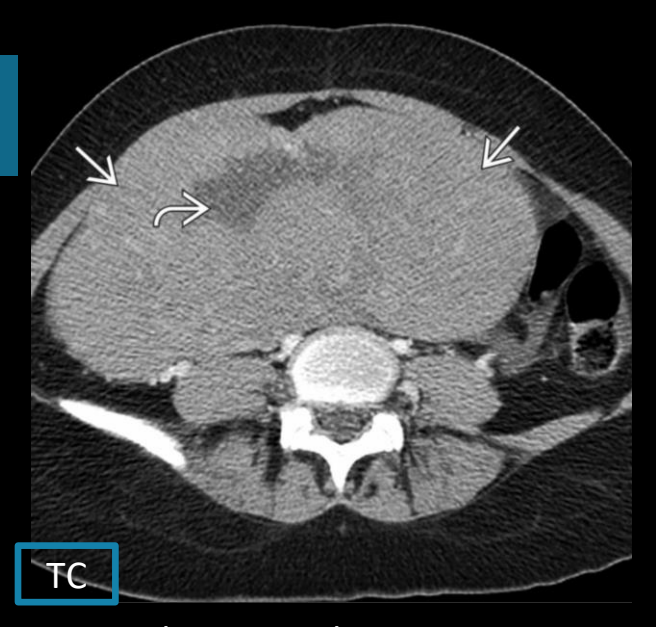
Adenopatía sospechosa y ascitis.

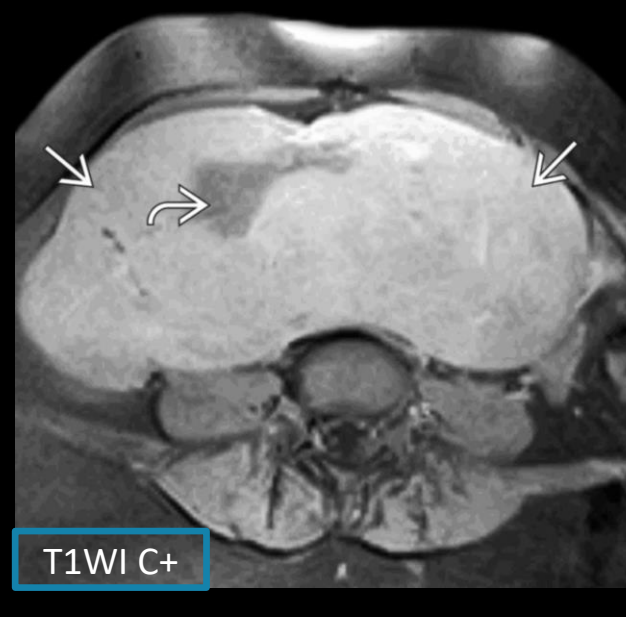
# Disgerminoma

Tumor maligno de células germinales. Mayoría de los casos (75%) ocurren en la adolescencia y edad adulta temprana. Bilateral en hasta un 15%.

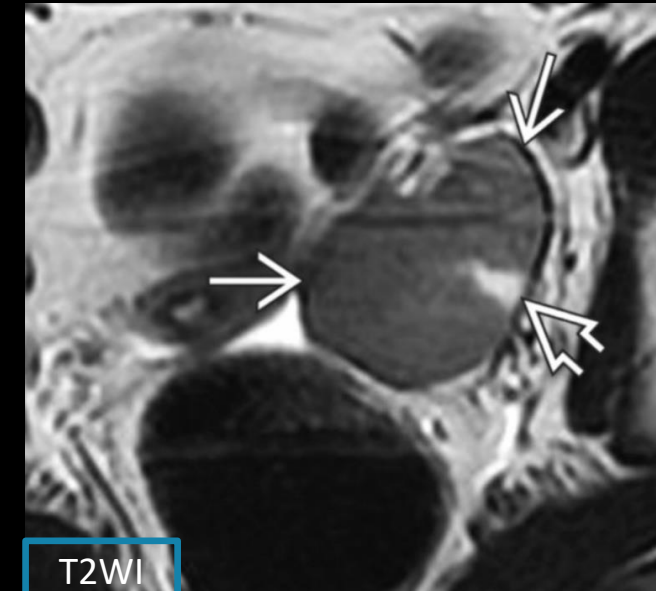
Diseminación ganglionar retroperitoneal.







Voluminoso disgerminoma anexial derecho en TC y RM, con un área central de necrosis.







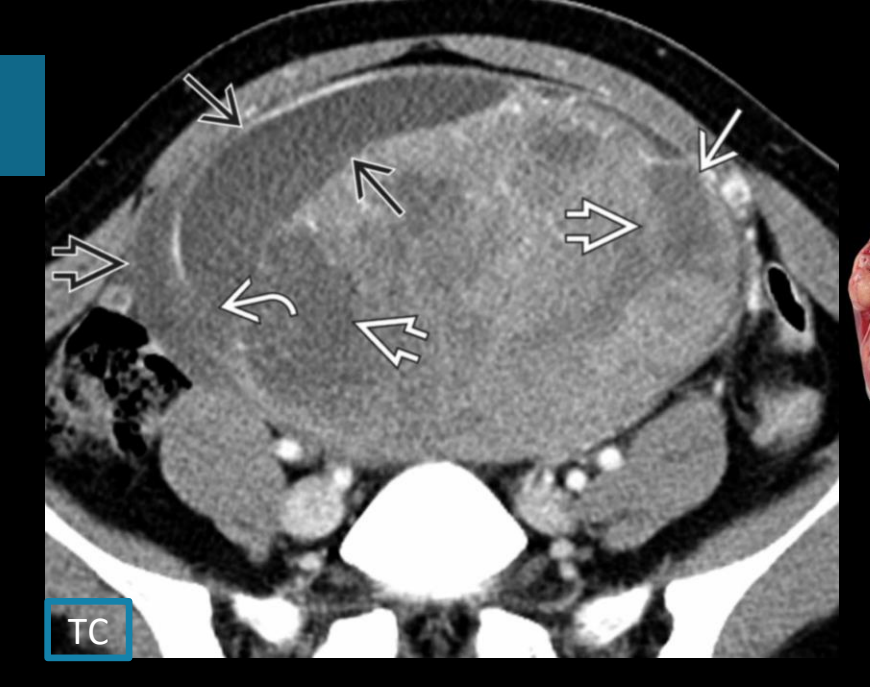
Disgerminoma anexial izquierdo con una pequeña área de necrosis periférica, isointensa en secuencia T2WI y realce heterogéneo en T1WI C+.

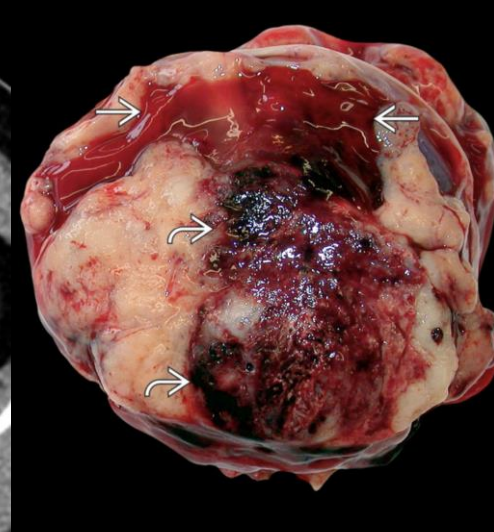
# Tumor de Yolk Sac

Tumor maligno de células germinales. Mayoría de los casos ocurren entre 18-25 años. Generalmente unilateral.

Agresivo, de mal pronóstico y crecimiento rápido.

Algunas series indican que corresponde hasta el 9% de los tumores pediátricos.

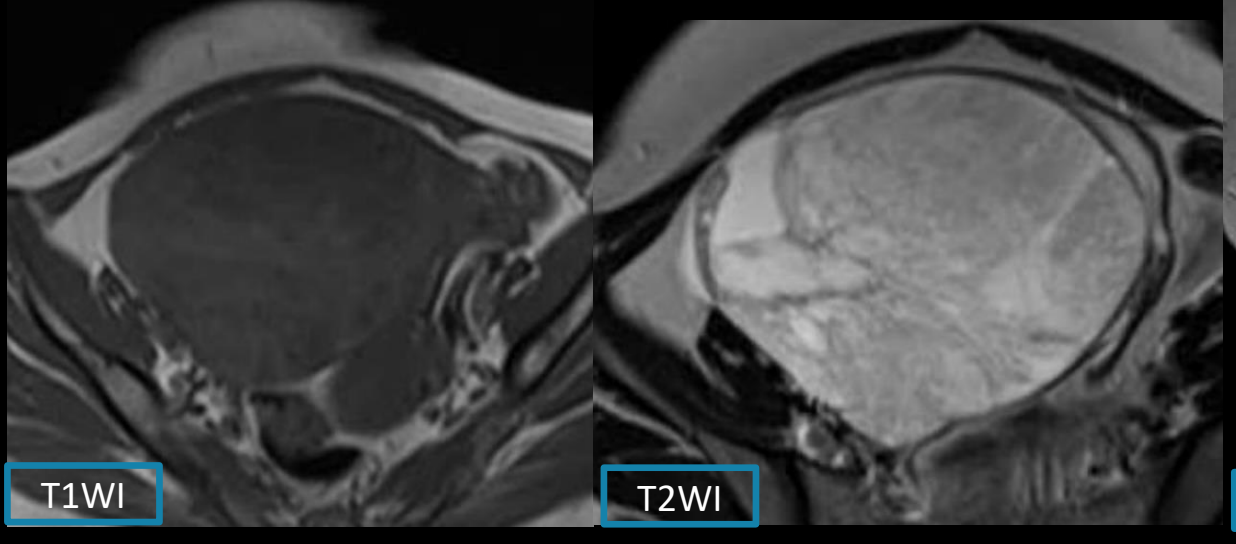




#### 2 patrones imagenológicos:

- Masa predominantemente sólida con áreas necróticas, hemorrágicas o quísticas irregulares.
- Masa sólido quística, adoptando un aspecto

Voluminosa lesión anexial, con áreas sólidas, heterogéneas, quísticas y estructuras vasculares en su interior.





"panal".

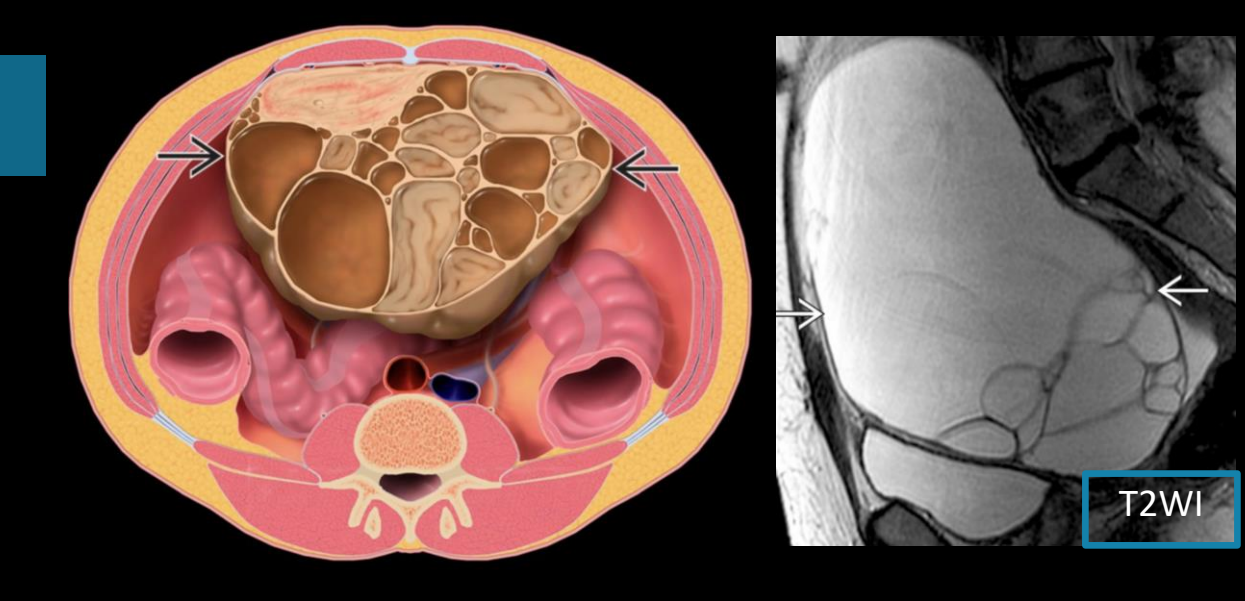
## Cistoadenomas Benignos

Corresponde a la lesión epitelial más frecuente.

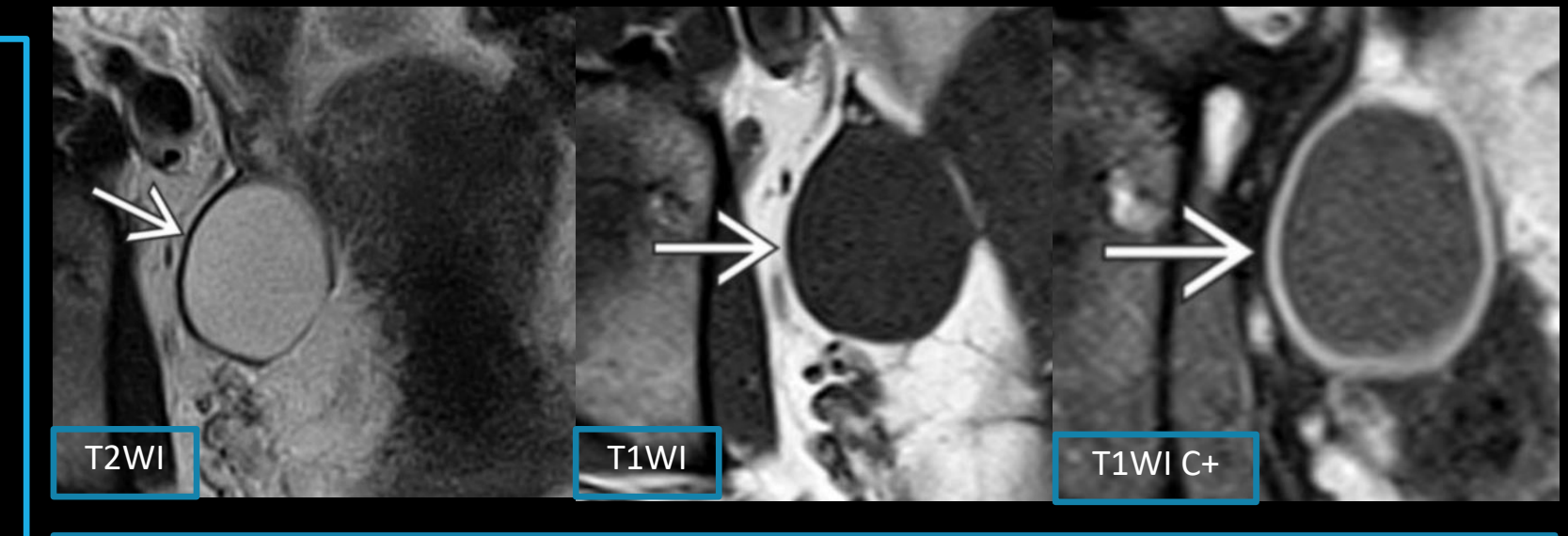
Influenciados por estímulos hormonales, raros antes

de la menarquia. Los serosos son más frecuente

uniloculares y los mucinosos multiloculares.



- Mucinosos: Unilaterales (95%), de tamaño variable, multiquística, pared y septos delgados.
  - Elementos malignos: componentes sólidos o proyecciones papilares.



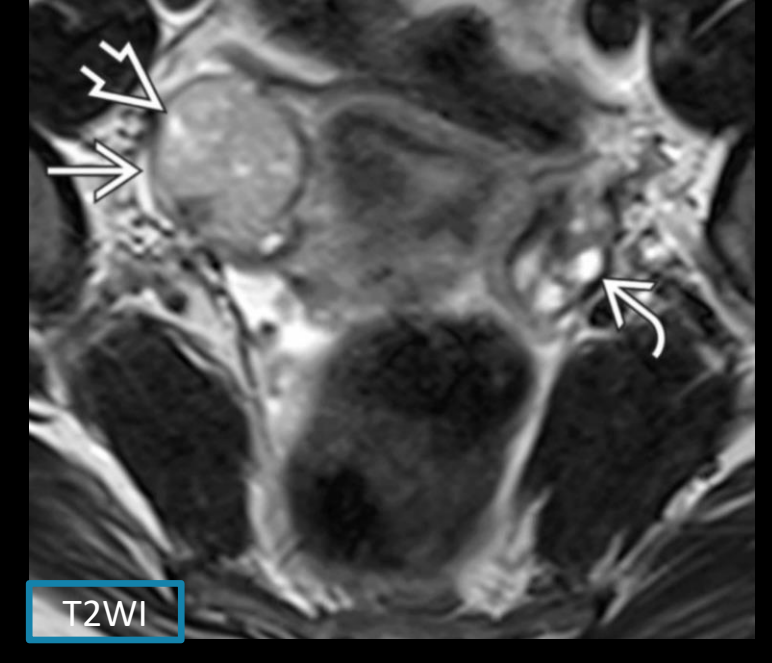
<u>Serosos:</u> Puede ser indistinguible de un quiste funcional. Hasta un 20% bilaterales. Malignidad extremadamente rara.

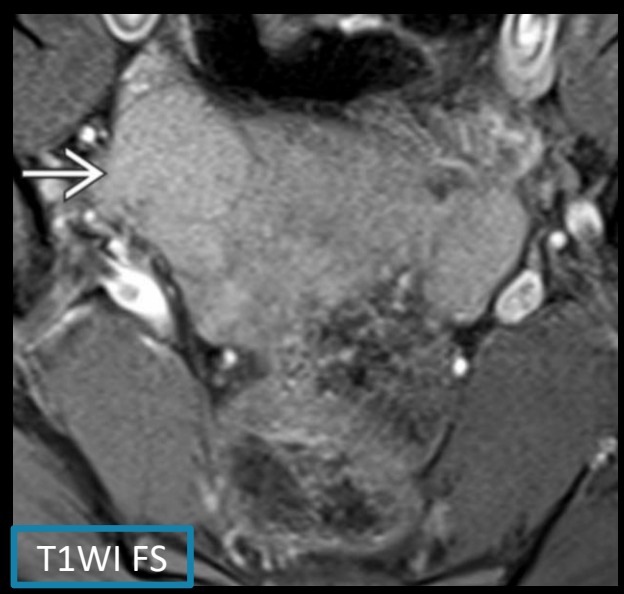
### Tumores de Leydig-Sertoli

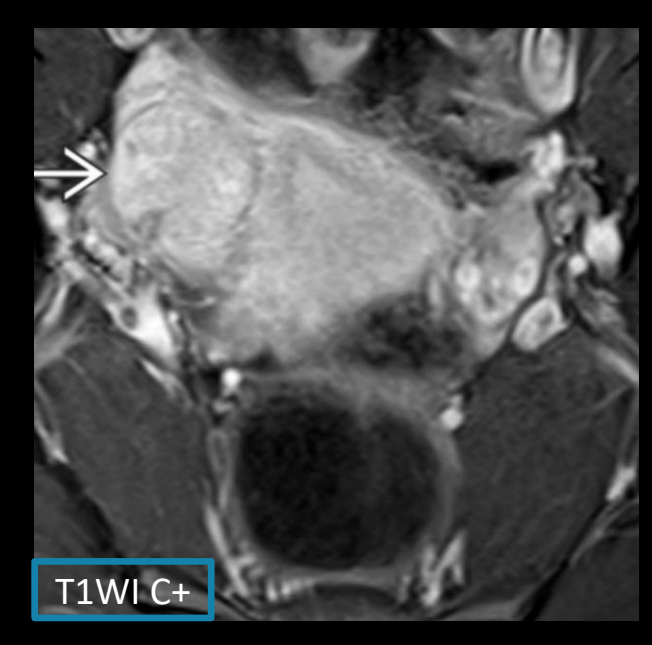
Poco frecuentes (0,1-0,5%). Se presenta en menores de 30 años (14 años en promedio). Buen pronóstico, aunque suelen recurrir. Virilizante.

- Masa sólida, bien definida y con áreas de realce con el contraste.
- Frecuentemente unilocular, de tamaño variable y escaso componente quístico.
- T1W: Dependiente del contenido de fibrina y adiposo.
- **T2WI**: Señal intermedia.









14 años. Lesión sólida anexial derecha, con confirmación de un tumor de Leydig-Sertoli.

# Consideraciones quirúrgicas.

La decisión sobre el tipo de cirugía se realiza dependiendo del riesgo preoperatorio y malignidad del tumor, considerando elementos clínicos, imagenológicos y de laboratorio.

#### Del punto de vista imagenológico:

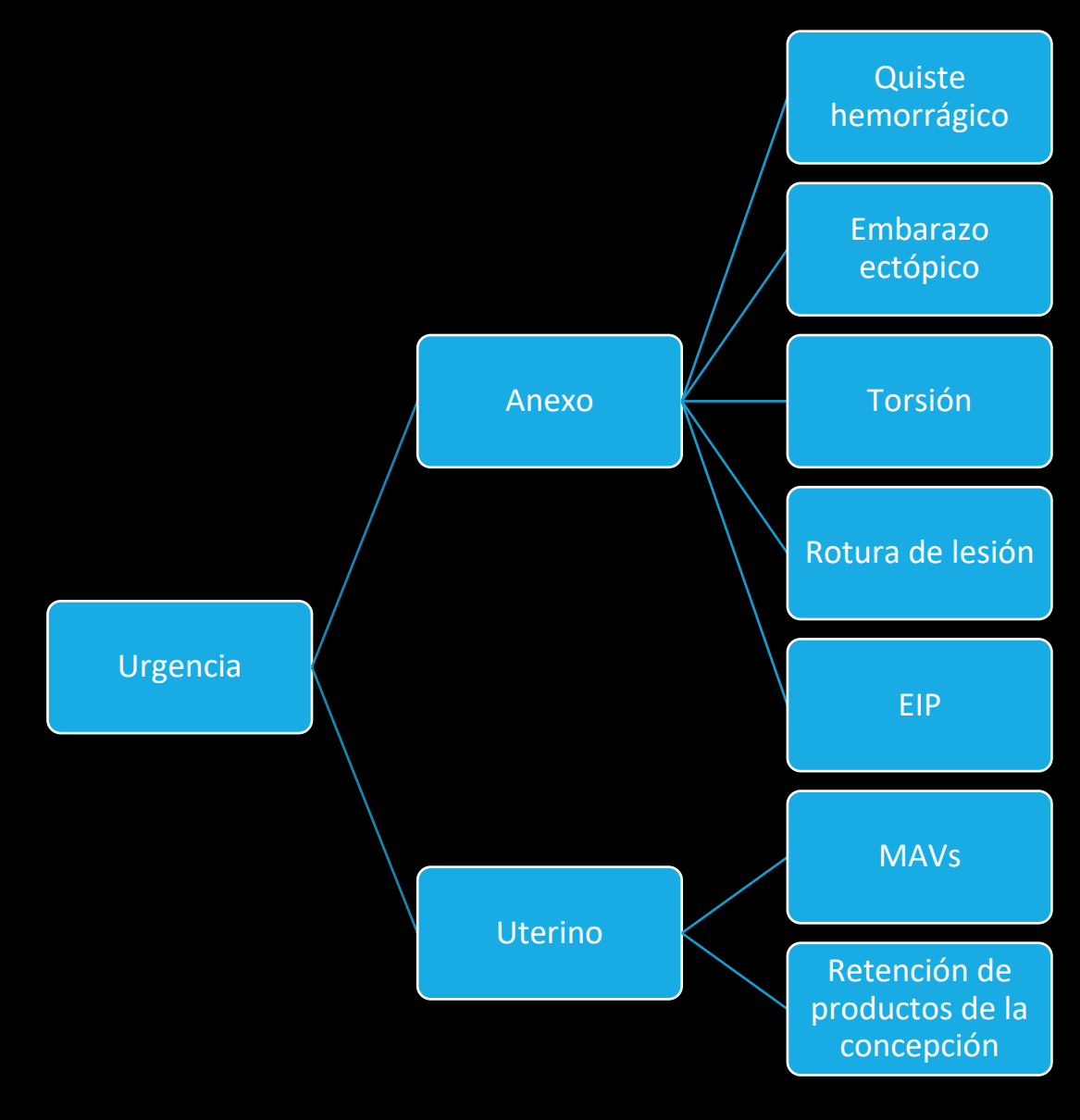
- Importancia de describir de qué estructura depende, relaciones anatómicas, estructura interna de la lesión y signos de diseminación.
- Hallazgos asociados con mayor malignidad: tamaño, presencia de componente sólido, áreas de restricción en DWI/ADC y de realce precoz.

El US será el examen de elección en esta población. En aquellas lesiones indeterminadas, RM es un recurso esencial.

- Marko J et al: Mucinous neoplasms of the ovary: radiologic-pathologic correlation. Radiographics. 39(4):982-97, 2019
- Lam CZ, Chavhan GB. Magnetic resonance imaging of pediatric adnexal masses and mimics, Pediatr Radiol. 2018; 48:1291 1306
- Depoers C, Martin FA, Timoh KN, Morcet J, Proisy M, Henno S et al. A Preoperative Scoring System for Adnexal Mass in Children and Adolescents to Preserve Their Future Fertility, J Pediatr Adolesc Gynecol 2019; 32: 57-63

# Patología de urgencias

- Incluyen diversas patologías, que incluyen tanto trastornos anexiales como uterinos.
  - Anexiales: Quistes hemorrágicos, embarazo ectópico, torsión anexial, rotura de tumores ováricos y enfermedad inflamatoria pélvica.
  - Uterinas: Retención de productos de la concepción y MAVs.
- En este grupo etario frecuentemente son autolimitadas, aunque hay que considerar aquellas de resolución quirúrgica y el inicio de actividad sexual a edad temprana.
- Las imágenes cumplen un rol fundamental en el diagnóstico y características:
  - US corresponde al estudio de primera línea.
  - TC y RM son estudios de segunda línea ante la duda diagnóstica.



	Occurrence and Clinical Manifestations	Appearance of Ipsilateral Ovary	Imaging Features		
Acute Gynecologic Diseases			CT	MR Imaging*	Differential Diagnosis
Acute hemorrhage from adnexal lesions					
Hemorrhagic ovarian cyst	Common Occurs during luteal phase, antecedent intercourse Right-side dominant	Functional cyst	Adnexal cyst with high-attenua- tion area Hemoperitoneum if ruptured	Usually not indicated	Ectopic pregnancy
Ectopic (tubal) pregnancy	Common Serum β-hCG positive	Normal	Adnexal cystic mass separated from normal ovary	Usually not indicated	Hemorrhagic ovarian
Adnexal tumor–related disorders					
Ovarian torsion	Uncommon Sharp localized right or left lower abdominal pain Ipsilateral pelvic mass	Obscured or enlarged <sup>†</sup>	Usually cystic tumor > 5 cm Beak-like protrusion Absent enhancement of an ad- nexal mass	Beak-like protrusion (T2WI, DWI) Wall thickening of the mass (T2WI, DWI) Absent enhancement of the mass (CE FS T1WI) Cyst wall or internal hemorrhage (FS T1WI)	Torsion of a subsero- sal myoma Rupture of an ovar- ian tumor
MOE (torsion of normal ovary)	Rare Intermittent/recurrent pain Occurs during pregnancy or ovulation induction or in perimenarchal girls	Enlarged	Nonspecific Solid-like adnexal mass Few large follicles as functional cysts	Enlarged ovary with stromal edema and peripherally located small follicles (T2WI) A few large follicles as functional cysts (T2WI) Internal hemorrhage (FST1WI)	Ovarian tumor
Isolated fallopian tube torsion	Extremely rare Clinical features are indistinguishable from those of ovarian torsion Sharp localized right or left lower abdominal pain Ipsilateral pelvic mass	Normal	Adnexal cystic mass or tubal dilatation	Adnexal cystic mass or tubal dilatation (T2WI) Whirlpool sign of twisted pedicle (T2WI)	Ovarian torsion
Rupture of cystic teratoma	Rare Large pelvic mass	Obscured	Mature cystic teratoma with distorted shape Fatty implants within peritoneum	Mature cystic teratoma with distorted shape Fatty implants within peritoneum (T1WI) Peritoneal thickening and stranding (CE FS T1WI)	Ovarian torsion
Rupture of endo- metriotic cyst	Rare Abdominal pain without apparent laterality Elevated serum tumor markers	Obscured	Nonspecific Cystic mass with slightly attenuated content Loculated ascites around the mass	Endometriotic cyst with distorted shape (T1WI,T2WI) T1 hyperintense fluid around the cyst (FST1WI) Peritoneal thickening and stranding (CE FST1WI)	Ovarian torsion TOA Ovarian malignancy
PID-related disorders					
TOA	Common Fever Vaginal discharge STD Iatrogenic	Obscured	Adnexal thick-walled complex cystic mass with tubal structure and intense enhancement Surrounding peritoneal thickening and stranding	Adnexal thick-walled complex mass with tubal structure and intense enhancement (T2WI, CE FS T1WI) Surrounding severe peritoneal inflammation (CE FS T1WI) Hyperintense content at DWI	Ovarian malignancy

Note.—CE = contrast-enhanced, DWI = diffusion-weighted imaging, FS = fat-saturated, hCG = human chorionic gonadotropin, MOE = massive ovarian edema, STD = sexually transmitted disease, TOA = tubo-ovarian abscess, T1WI = T1-weighted imaging, T2WI = T2-weighted imaging.

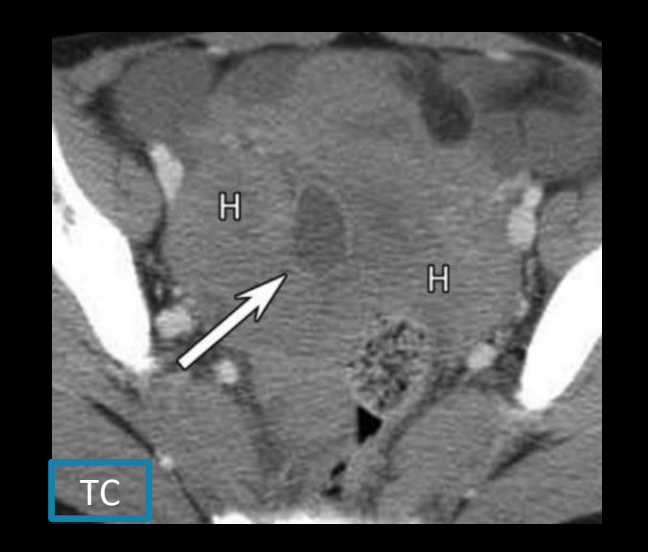
Resumen de características por RM y TC de patologías anexiales de urgencias.

<sup>\*</sup>Parentheses list useful imaging sequences.

<sup>†</sup>Secondary MOE.

# Quiste hemorrágico

- La rotura de un quiste hemorrágico puede generar hemoperitoneo y tener características similares a un embarazo ectópico.
- El estudio por RM es raro, debido a la evaluación previa con US y TC, la que suele ser suficiente.
- Las imágenes en RM suelen ser variables,
   dependiente de la temporalidad del contenido hemático.
- El principal diagnóstico diferencial es con embarazo ectópico.





Paciente de 14 años, con quiste hemorrágico anexial derecho. Se asocia con hemoperitoneo y sangrado activo.



Correlación en US y RM de un quiste hemorrágico anexial derecho, sin signos de complicación.

# Torsión anexial

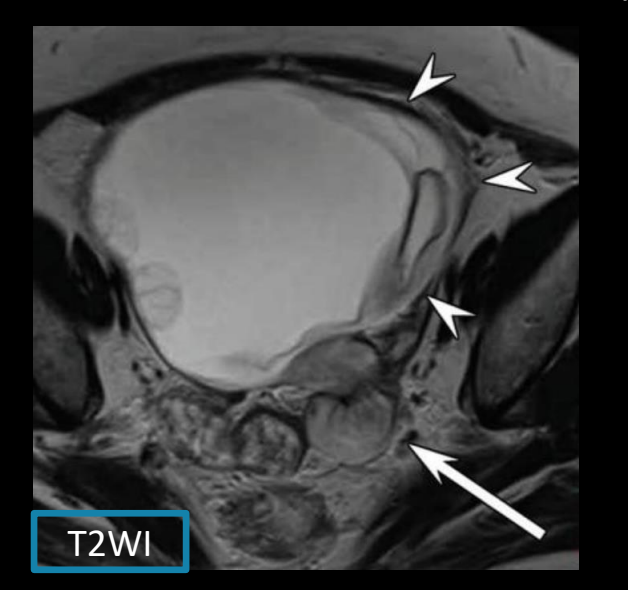
- Puede afectar al ovario, trompa u ambos. Generalmente asociado a una lesión anexial (teratomas). Torsiones sin lesión anexial, son más frecuentes pre-menarquia.
- Se pueden reconocer complicaciones asociadas como; isquemia y rotura lesional.

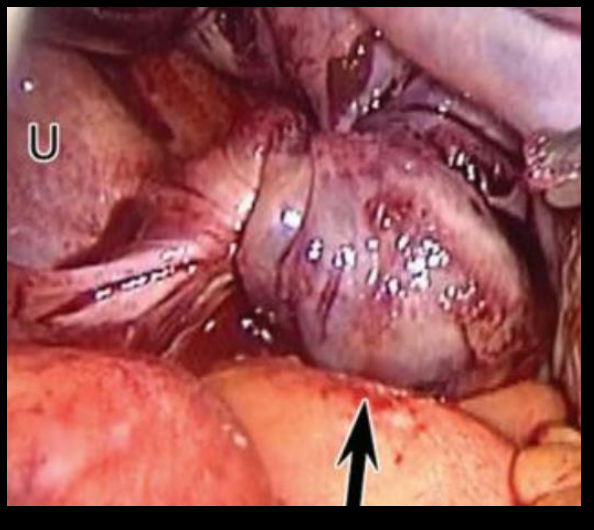


Se muestra torsión anexial derecha, con signo del "remolino" y su correlato en cirugía.



Torsión de un teratoma maduro derecho. Se reconoce edema anexial, desviación uterina y pedículo torcido.





Torsión anexial en contexto de voluminosa lesión quística. Correlato en cirugía.

### Conclusiones

- La **RM** es el método de elección para la caracterización de malformaciones müllerianas, recomendándose la clasificación ESHRE/ESGE.
- El diagnóstico de lesiones anexiales requiere integración clínica, de laboratorio e imagenológica; la RM permite definir la arquitectura interna y signos de agresividad.
- En patología ginecológica aguda, la ecografía constituye la primera línea; la TC y la RM son herramientas complementarias ante hallazgos indeterminados o complejos.
- La difusión de casos representativos favorece la estandarización diagnóstica y fortalece la formación radiológica en una patología subdiagnosticada pero clínicamente relevante.

3)Pfeifer SM, Attaran M, Goldstein J, Lindheim SR, Petrozza JC, Rackow BW, Siegelman E, Troiano R, Winter T, Zuckerman A, Ramaiah SD. ASRM müllerian anomalies classification 2021. Fertil Steril. 2021 Nov;116(5):1238-1252. doi: 10.1016/j.fertnstert.2021.09.025. Erratum in: Fertil Steril. 2023 Jun;119(6):1088. doi: 10.1016/j.fertnstert.2023.04.001. PMID: 34756327.

<sup>2)</sup>Passos IMPE, Britto RL. Diagnosis and treatment of müllerian malformations. Taiwan J Obstet Gynecol. 2020 Mar;59(2):183-188. doi: 10.1016/j.tjog.2020.01.003. PMID: 32127135.

<sup>4)</sup>Chen N, Song S, Bao X, Zhu L. Update on Mayer-Rokitansky-Küster-Hauser syndrome. Front Med. 2022 Dec;16(6):859-872. doi: 10.1007/s11684-022-0969-3. Epub 2022 Dec 23. PMID: 36562950.





# Evaluación de las malformaciones Müllerianas por RM: Exhibición académica de la interpretación sistemática según la clasificación ESHRE-ESGE a partir de casos.

Labra I<sup>1</sup>, Ulloa P<sup>1</sup>, Schiappacasse G<sup>2</sup>, Molina N<sup>3</sup>.

(1) Residente de Imagenología. Universidad San Sebastián. Hospital Victor Ríos Ruiz, Los Ángeles.

(2) Médico Radiólogo Staff. Departamento de Imágenes, Facultad de Medicina Clínica Alemana de Santiago – Universidad del Desarrollo.

(3) Médico Radiólogo Staff. Fellowship de imágenes abdominales. Hospital Víctor Ríos Ruiz, Los Ángeles.

Servicio de Imagenología - Hospital Víctor Ríos Ruiz, Los Ángeles Universidad San Sebastián